

# O naturze i odkryciu fal grawitacyjnych.



prof. Mariusz P. Dąbrowski

NCBJ, Świerk, 22.03.2016

**Czym jest grawitacja? Zaczynamy od  
“jabłka Newtona” i eksperymentu  
Cavendisha, potem przechodzimy do  
planet, gwiazd, galaktyk, ewolucji  
przestrzeni i fal grawitacyjnych.**

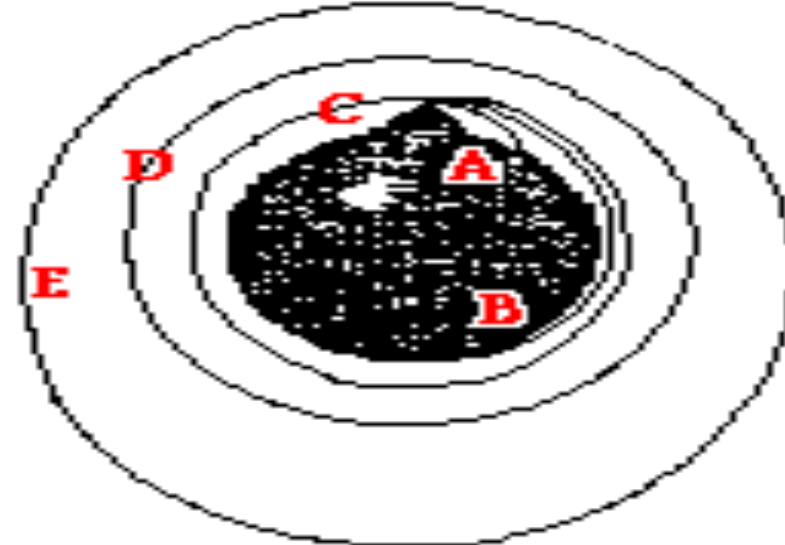
**Sir Izaak Newton (1642-1727)**



# **“Jabłko Newtona” – symbol siły ciążenia, czyli grawitacji.**



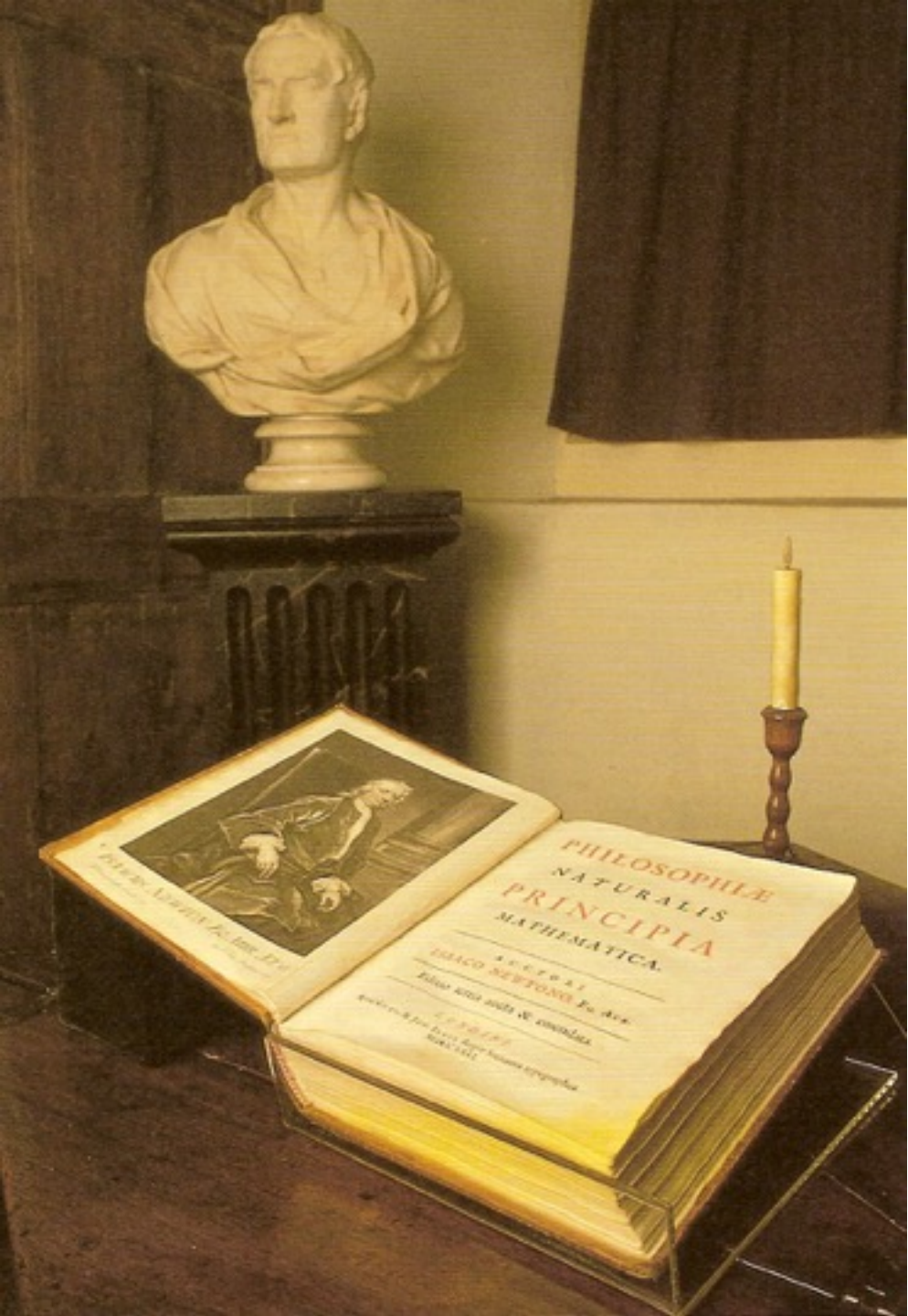
## Cannonballs shot from "Newton's Mountain"



**As launch speeds are increased,  
the cannonballs travel greater  
distances before falling to earth.  
Ultimately, the cannonballs will  
fall around the earth instead of  
into the earth.**

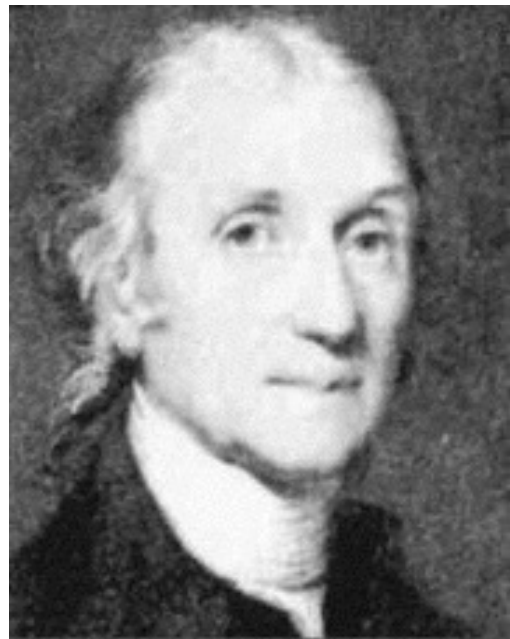
Newton zrozumiał, że jest to ta sama siła, która powoduje skośny ruch kuli armatniej, eliptyczny ruch Księżyca wokół Ziemi oraz planet wokół Słońca.

# Trzy zasady dynamiki oraz Prawo powszechnego ciążenia (prawo odwrotnych kwadratów)

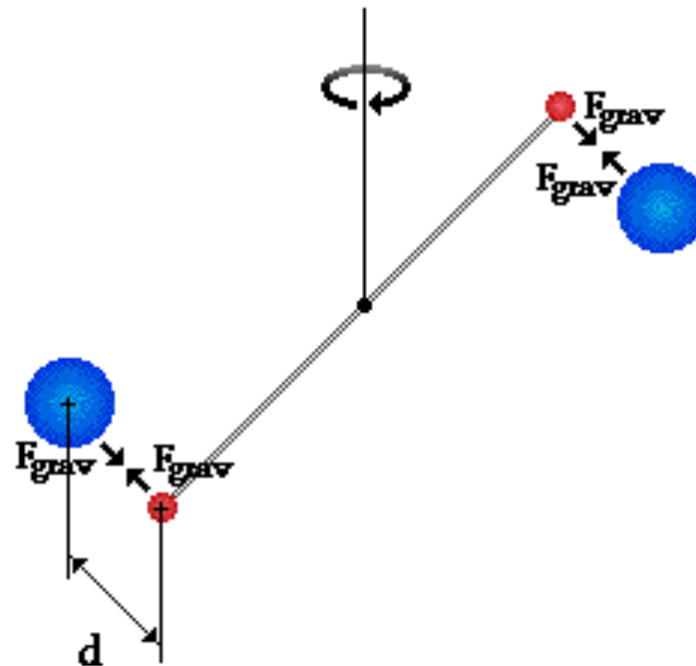


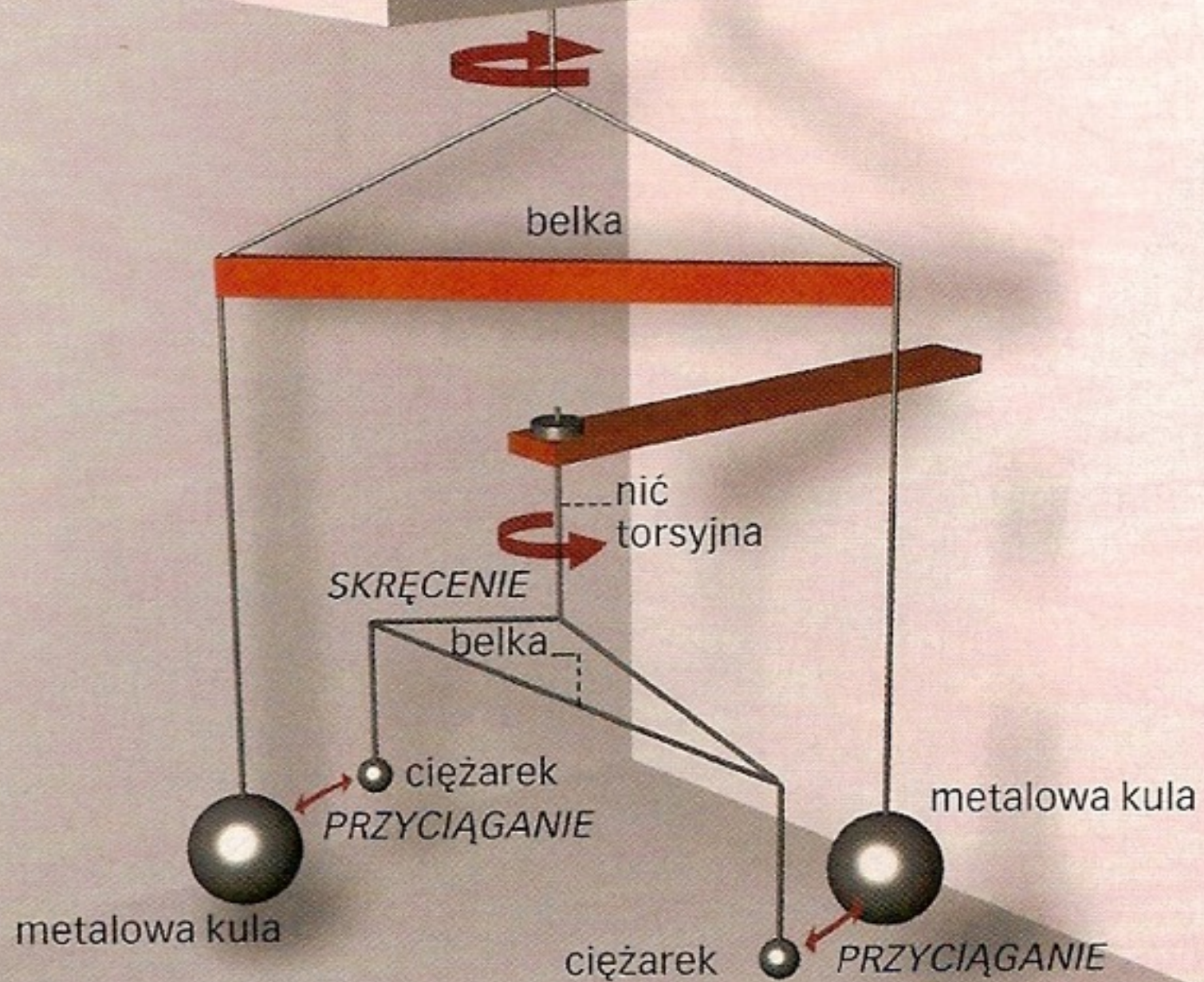
$$F(r) = G \frac{m_1 m_2}{r^2}$$

**Stałą grawitacji  $G$  wyznaczył Sir Henry Cavendish (1731-1810) – okazało się, że jest ona mała i wobec tego grawitacja ujawnia się przede wszystkim dla dużych mas (przypływy oceanów, Układ Słoneczny, kosmos).**



Cavendish's Torsion Balance







**Słabość oddziaływania - mały efekt, może być zaburzony przez wiele czynników.**

**Aby uniknąć wpływu podmuchów powietrza na dokładność pomiarów Cavendish obserwował zachowanie się kul przez lunetkę umieszczoną w ścianie laboratorium.**



**Doświadczenie Cavendisha**

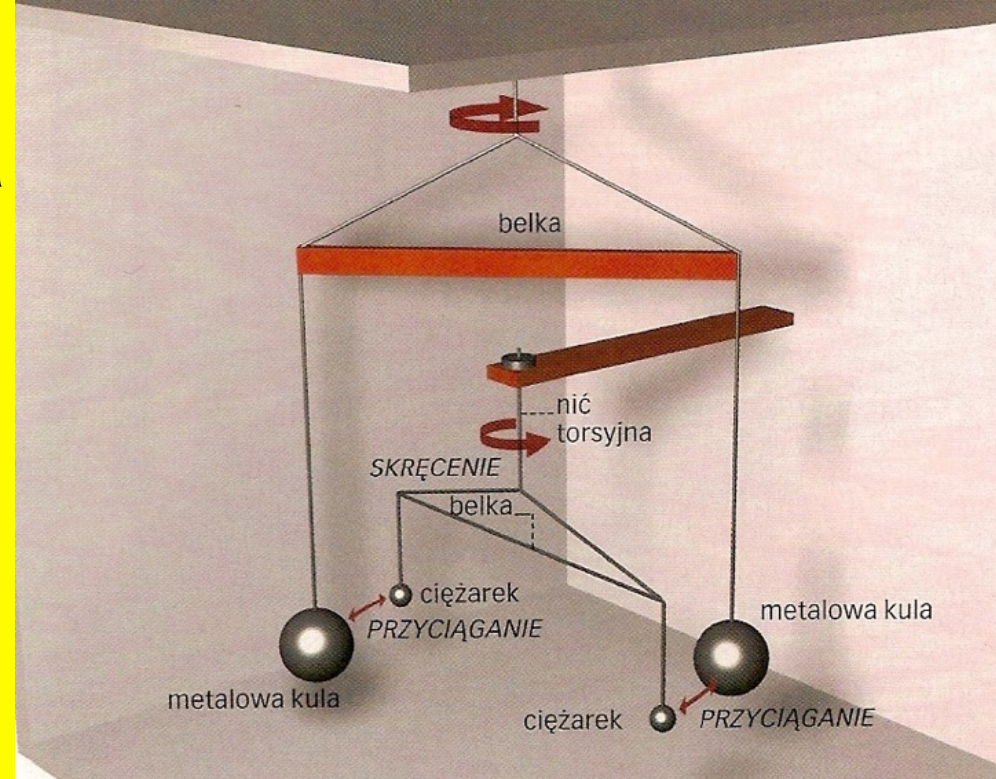
$$F(r) \frac{L}{2} = \kappa \theta \quad \text{Prawo Hooke'a}$$

$\kappa$  - moment kierujący

$$F(r) = G \frac{Mm}{r^2} \quad \begin{matrix} \text{siła grawitacji} \\ \text{Newtona} \end{matrix}$$

$$T = 2\pi \sqrt{\frac{I}{\kappa}} \quad \text{Okres drgań wahadła torsyjnego}$$

I - moment bezwładności wahadła



$$G = \frac{4\pi^2 I r^2 \theta}{M m L T^2}$$

$$G = 6,6742 \cdot 10^{-11} \frac{\text{Nm}^2}{\text{kg}^2}$$

**CODATA –  
Committee on Data for Science  
and Technology**

Zrozumienie prawa grawitacji  
zainspirowało Newtona a potem  
Einstaina do konstrukcji  
**obiektów masywnych i modeli**  
**Wszechświata** w oparciu o ich  
teorie grawitacji.

Pytanie:  
**Co i jak oddziałuje?**

# Oddziaływanie fundamentalne - zasięg

**Grawitacyjne – zasięg nieskończony**

**Elektromagnetyczne - nieskończony**

**Jądrowe silne – zasięg jądra ( $1/10^{15}$  m**

**– jedna tysięczna milionowej milionowej metra )**

**Jądrowe słabe – zasięg 1000 razy mniejszy**

Oddziaływanie jądrowe silne są odpowiedzialne za  
**utrzymanie jąder atomowych w stabilności.**

Oddziaływanie elektryczne jest odpowiedzialne za  
**utrzymanie atomów w stabilności.**

Oddziaływanie grawitacyjne jest odpowiedzialne za  
**utrzymanie układów planetarnych i galaktyk w całości.**

Oddziaływanie jądrowe słabe pełni rolę uzupełniającą –  
jest **odpowiedzialne za rozпадy promieniotwórcze jąder radioaktywnych.**

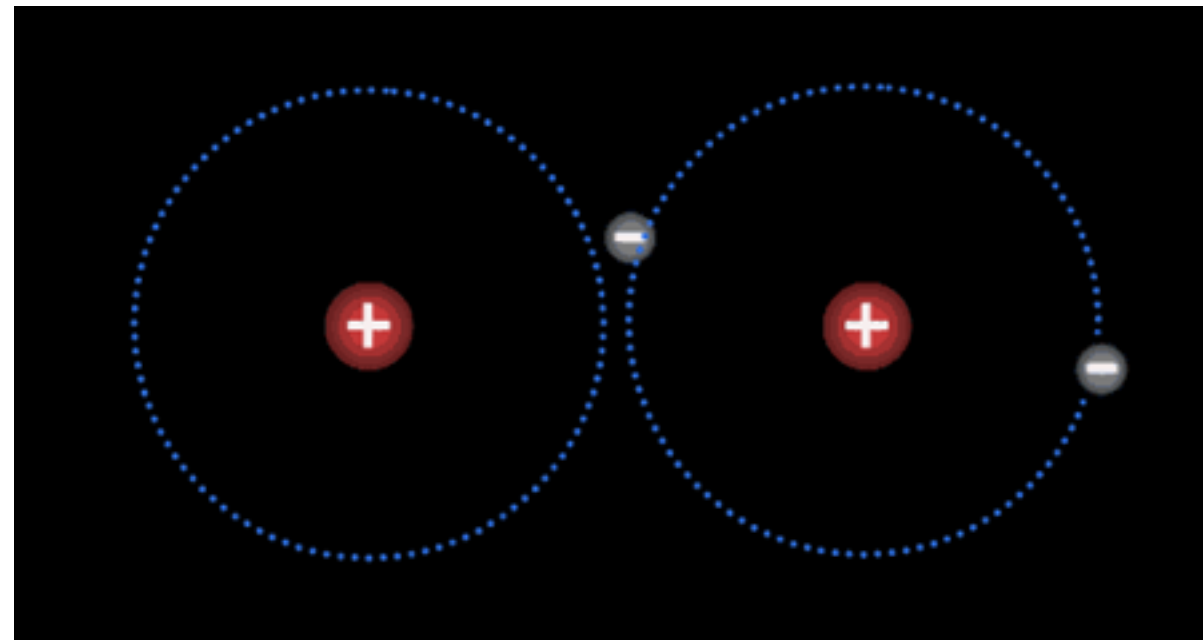
# Fenomen oddziaływania

Jak opisać przyciąganie się dwóch ładunków elektrycznych?

Nie są połączone sprężynami jak dwie kulki metalowe!?

Rolę sprężyn grają **niewidzialne cząstki** wymieniane pomiędzy dwoma ciałami zwane **cząstkami oddziaływania!**

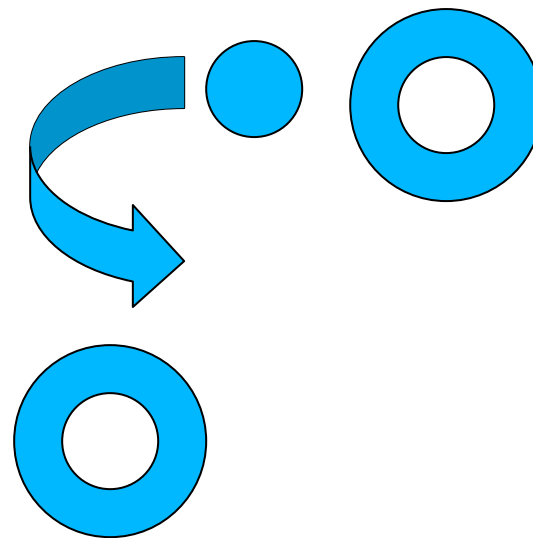
Analogia -  
oddziaływanie  
**wymienne**  
(elektronów)  
w cząsteczce  
wodoru H<sub>2</sub>





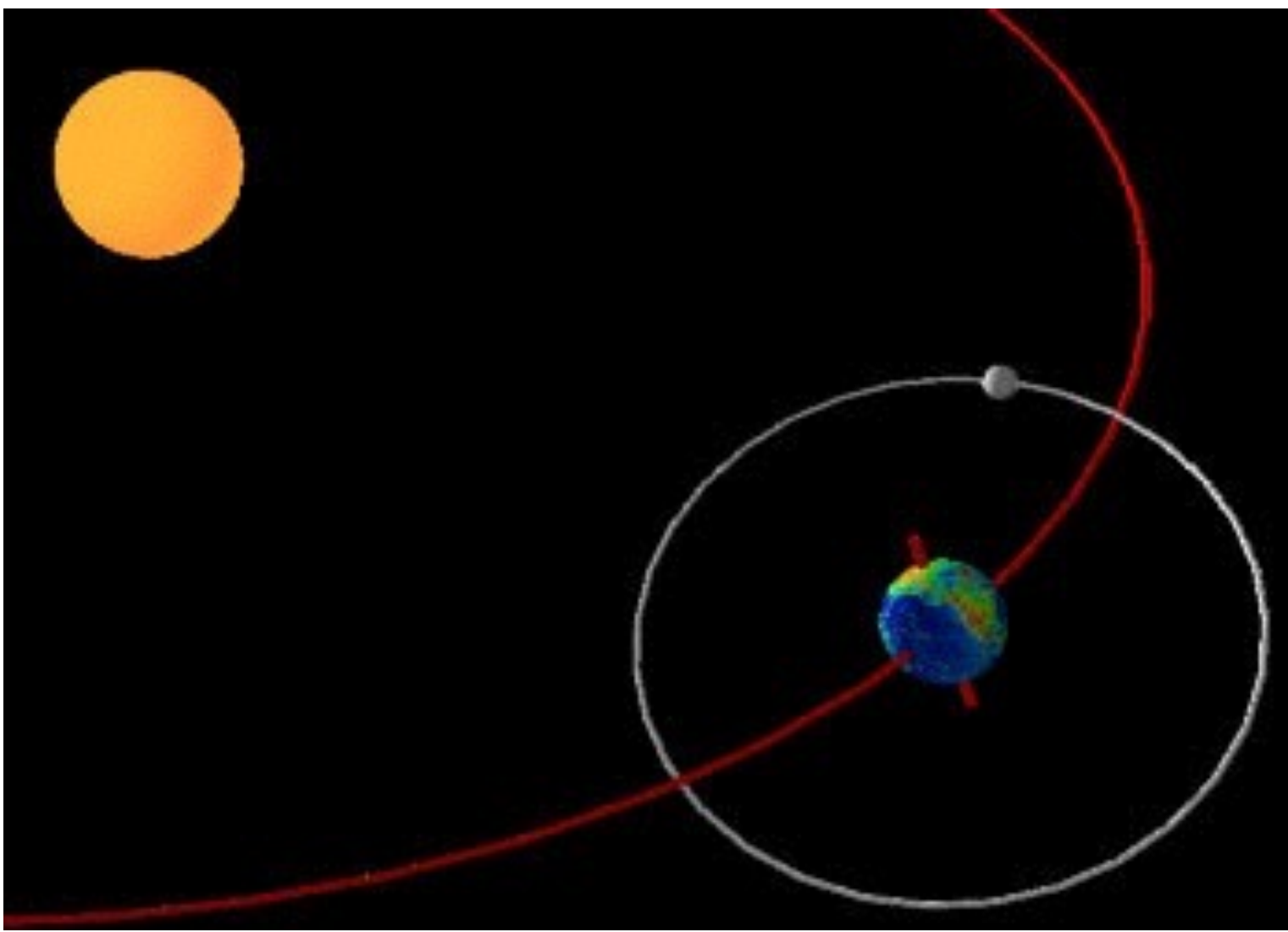
częstka  
wymie-  
niana

częstka 2



częstka 1

**Oddziaływanie ma miejsce dopóki cząstki (piłka) są wymieniane.**



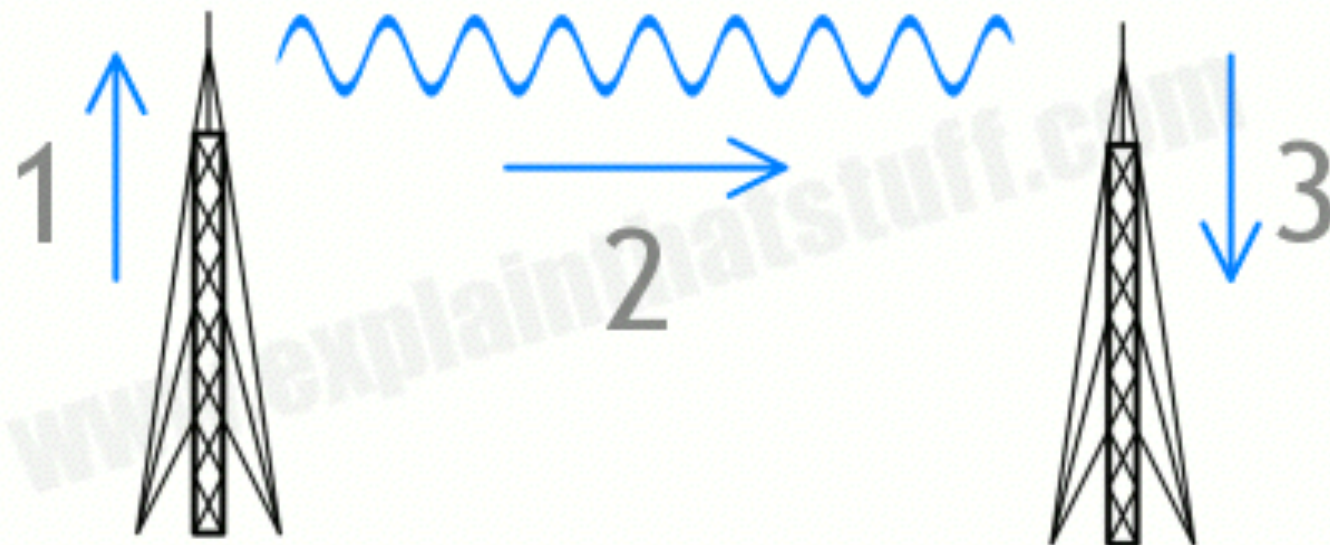
Nie “widzimy” cząstek wymienianych (przynajmniej gołym okiem).

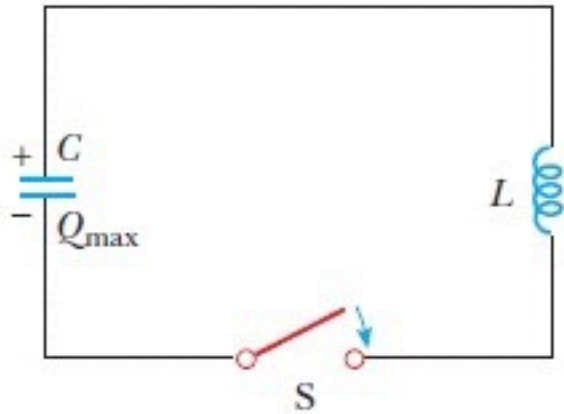
Ale “czujemy” skutek tego oddziaływania - masy i ładunki przyciągają się (lub odpychają) wzajemnie.

**Co zatem jest przekazywane z miejsca na miejsce?**

**Cząstki = fale materii.**

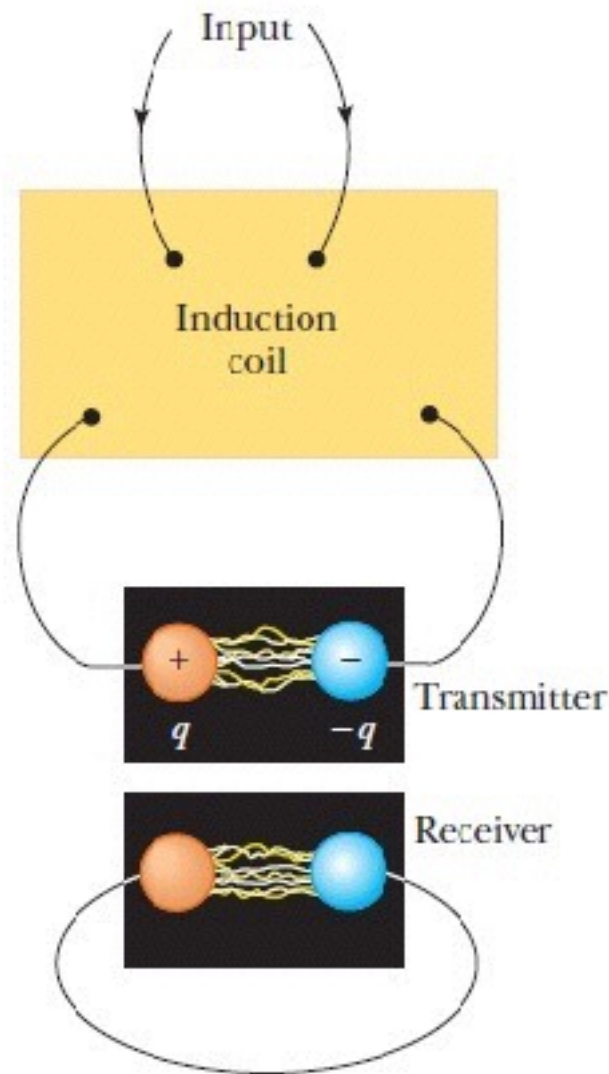
**Najlepiej znany przykład - fale elektromagnetyczne (kwanty światła).  
Dzięki nim odbieramy sygnały radiowe i telewizyjne!**

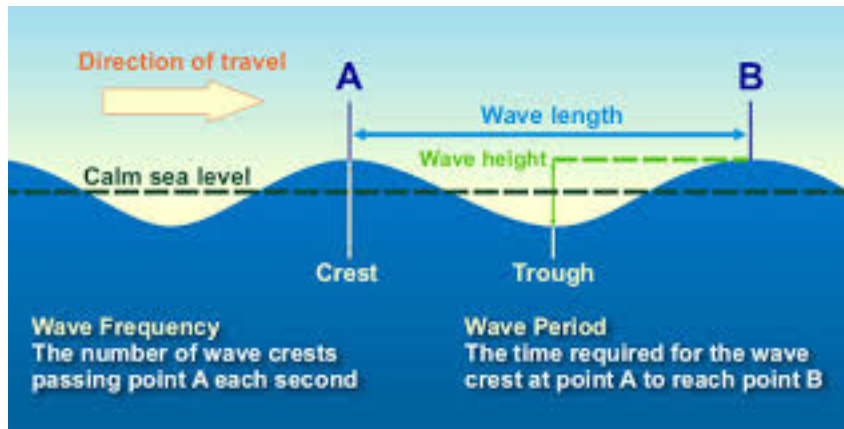




**Klasyczny obwód LC**

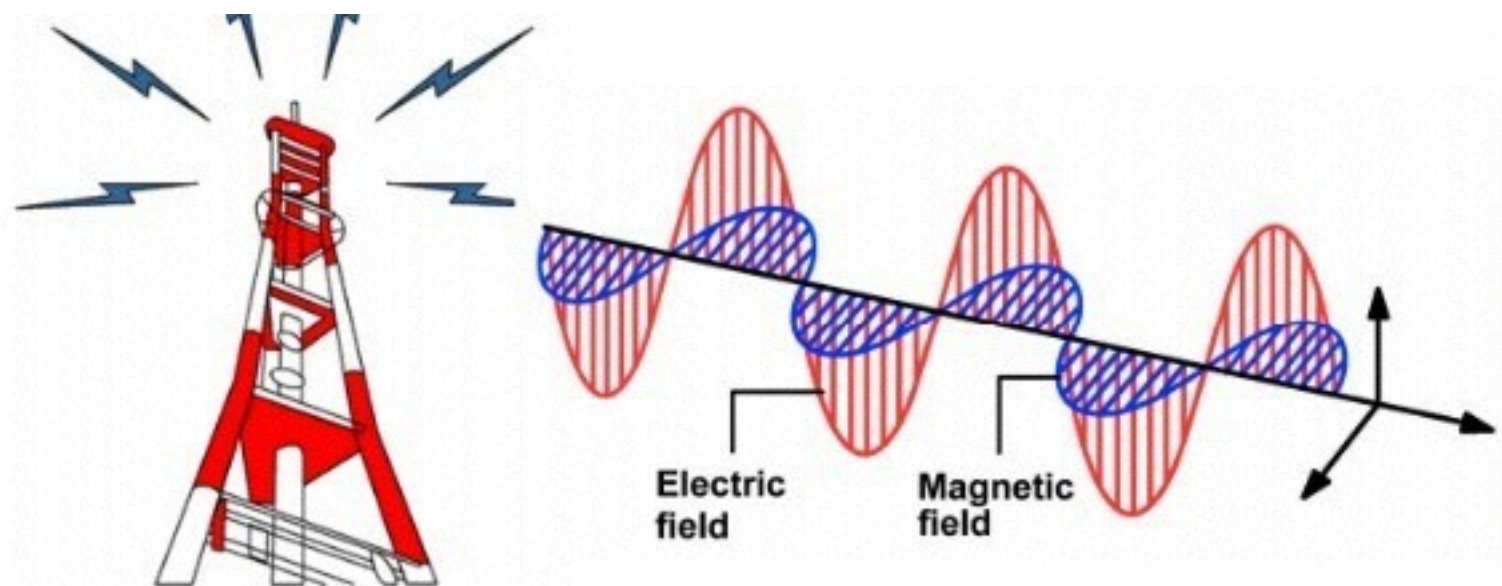
## Nadajnik i antena

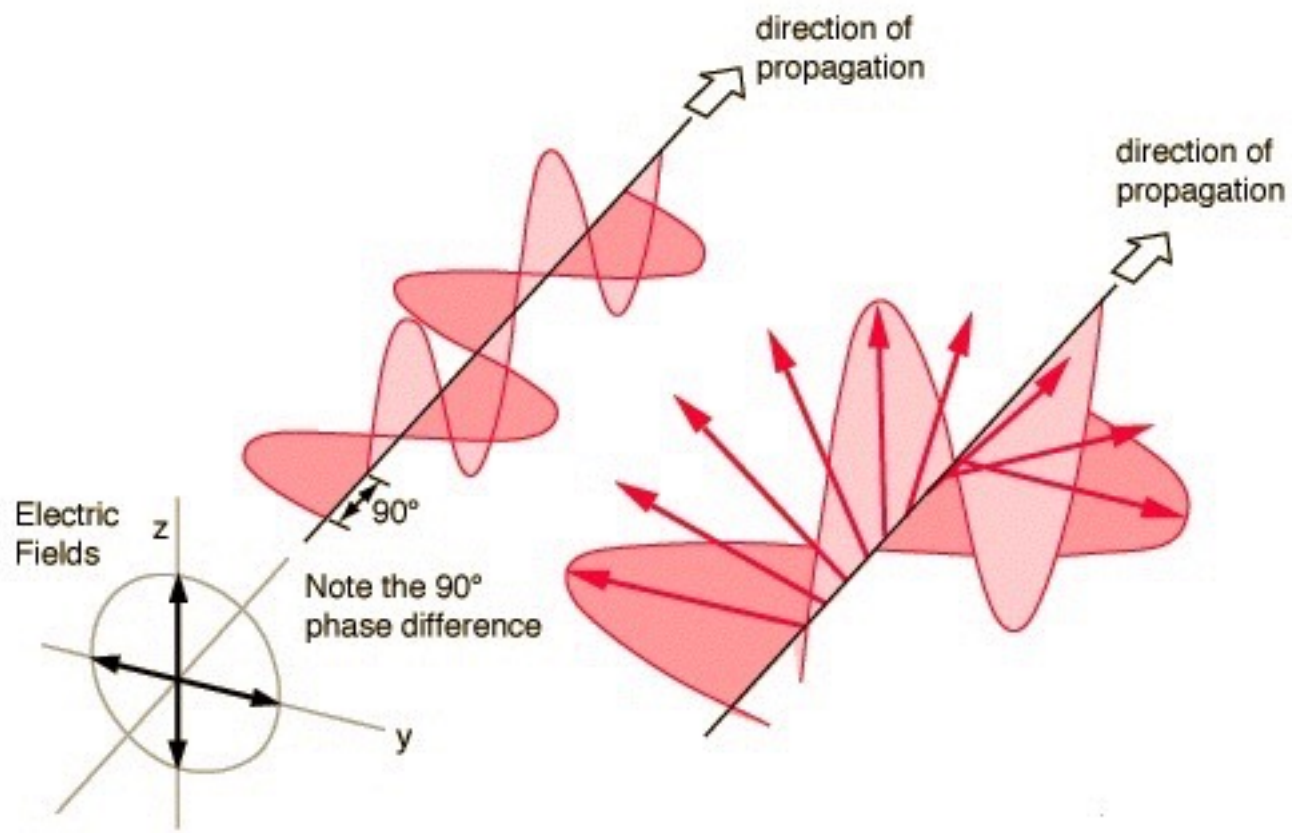




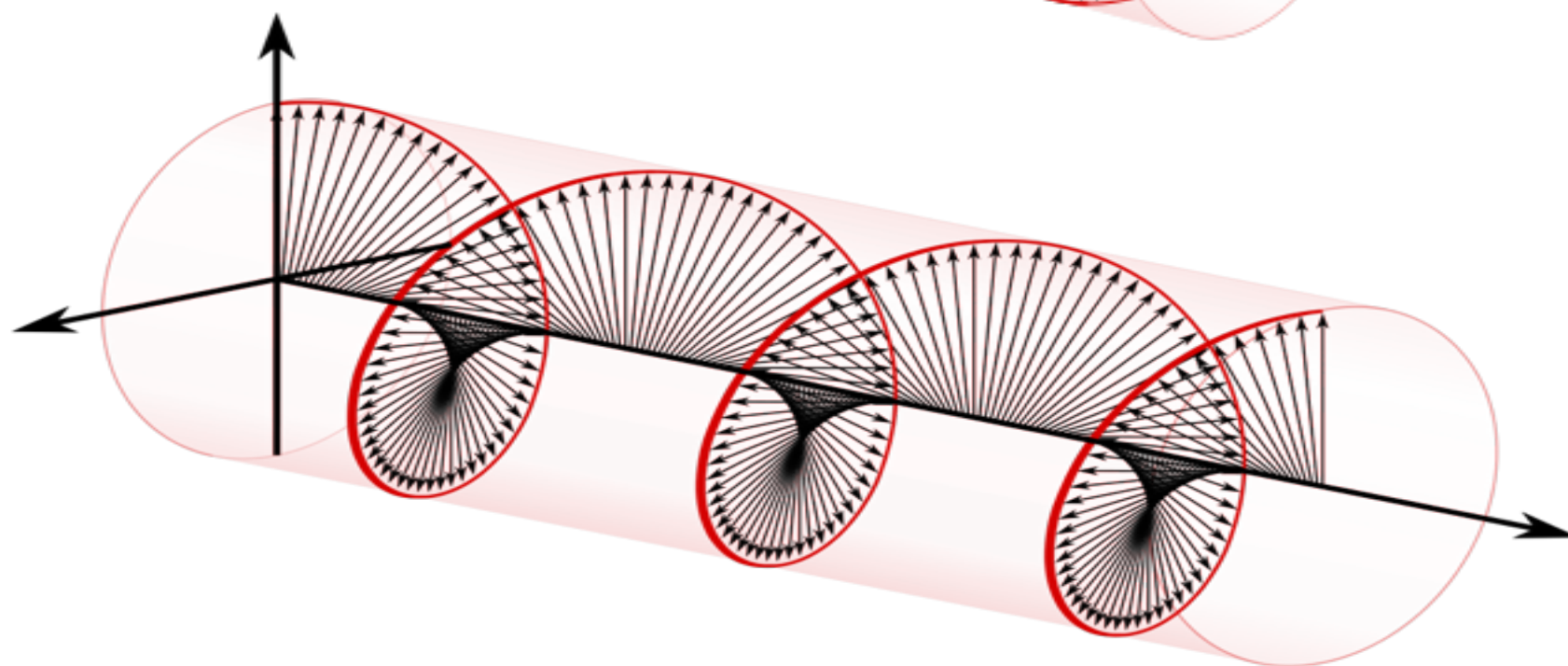
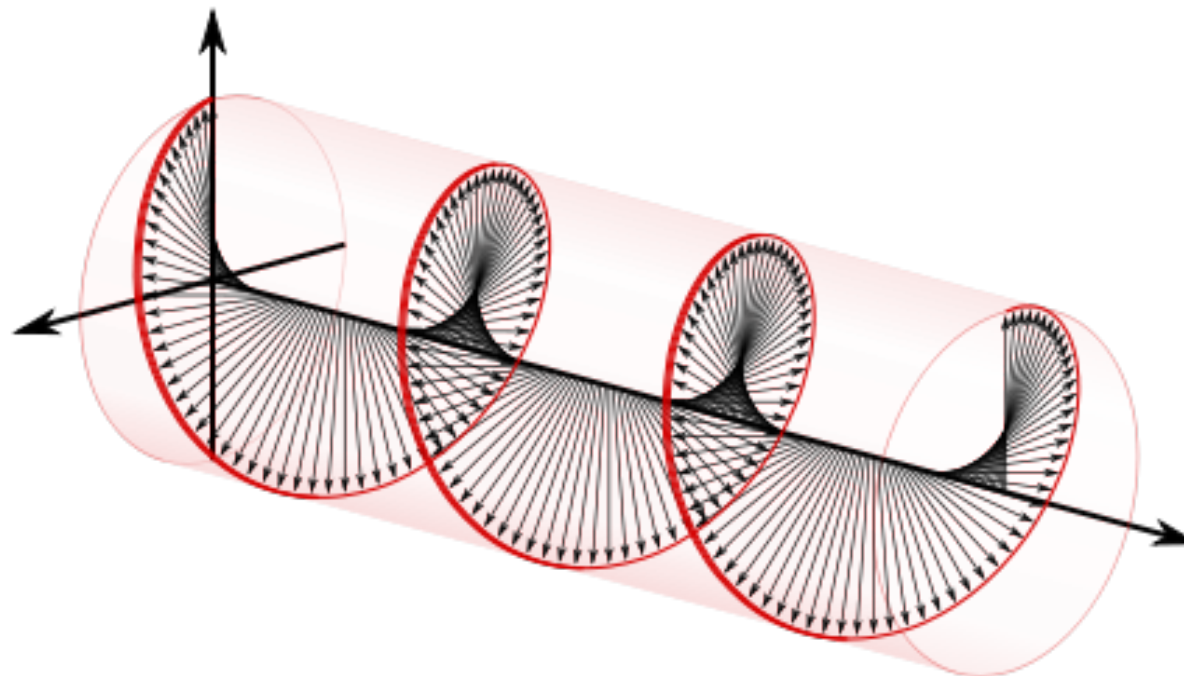
Fala mechaniczna - drgania częstek ośrodka (np. wody).

Fala elektromagnetyczna - drgania pól elektrycznego i magnetycznego.

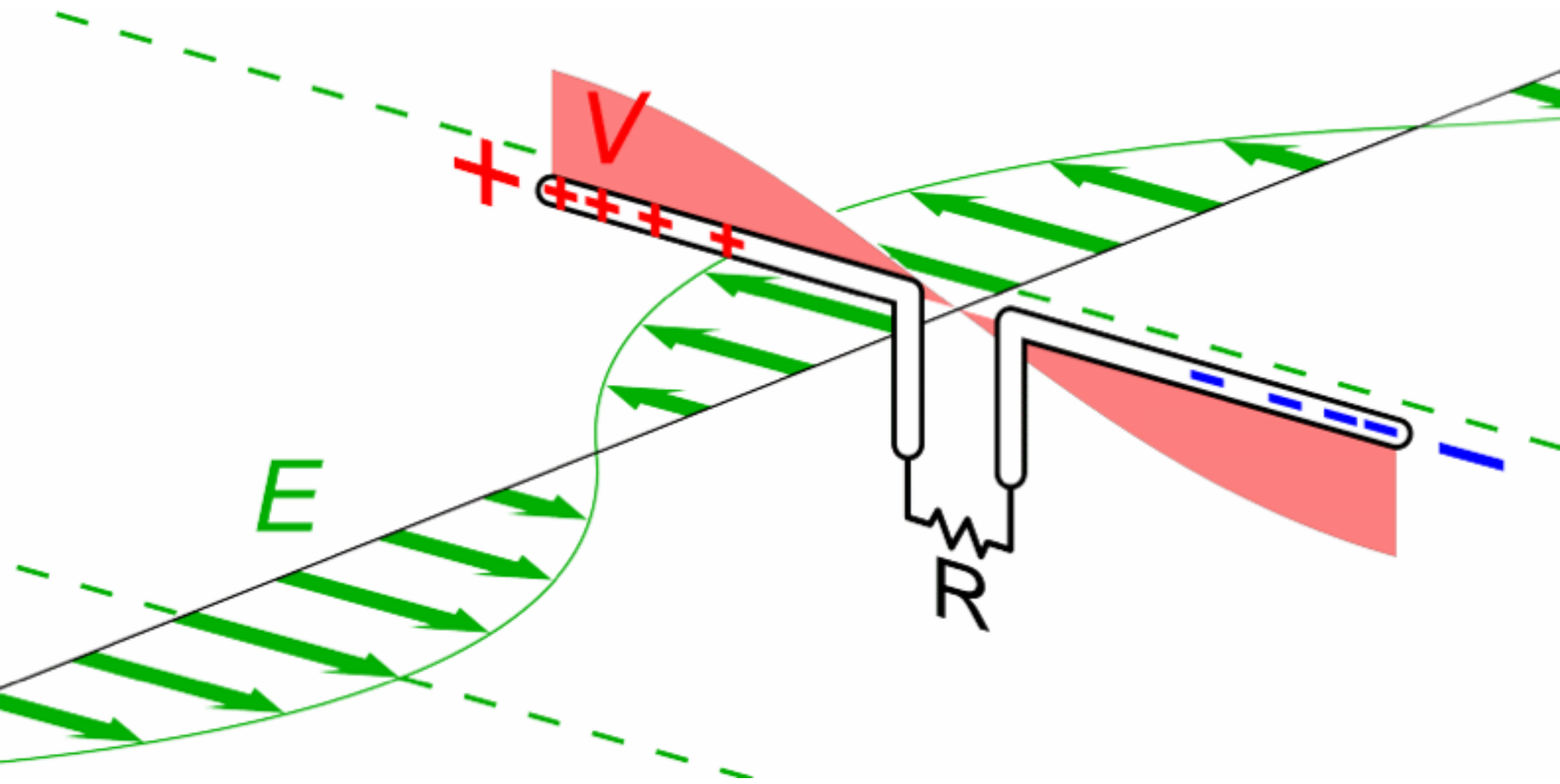




# Fale elektromagnetyczne



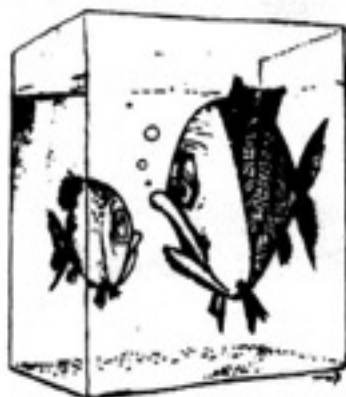
**Przechodząca przez antenę fala porusza ładunki elektryczne i wytwarza mini-prądy.**



# *Pojęcie czasoprzestrzeni.*

Czym jest czasoprzestrzeń?

Jest **zbiorem** wszystkich możliwych **zdarzeń elementarnych** (punkto-chwil albo inaczej miejsc „tu i teraz”).



Izaak Newton: (czaso)przestrzeń jest „**areną**” dla ruchów materii lub inaczej **pojemnikiem** w którym pojawia się i ewoluje materia.

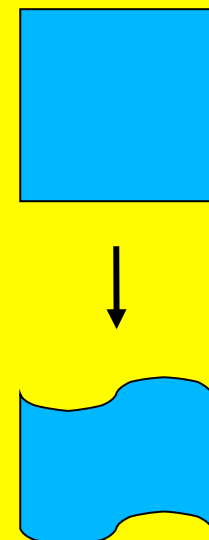
Minkowski – „arena” **bez** materii.

## Albert Einstein (1915) – Ogólna Teoria Względności

Czasoprzestrzeń to **zbiór** wszystkich możliwych **zdarzeń elementarnych**, który jest modyfikowany oddziaływaniem z materią.

Według Einsteina **ten zbiór może być odwzorowany na obiekt geometryczny (linia, płaszczyzna itd.) i dalej ten obiekt geometryczny może być „odkształcany” pod wpływem znajdującej się w nim materii.**

Zatem czasoprzestrzeń może zachowywać się **jak kartka papieru, którą można dowolnie wyginać**, a odpowiada za to oddziaływanie grawitacyjne.



# Ogólna Teoria Względności Geometria = Materia

$$R^{\mu\nu} - \frac{1}{2} g^{\mu\nu} R = (8\pi G/c^4) T^{\mu\nu}$$

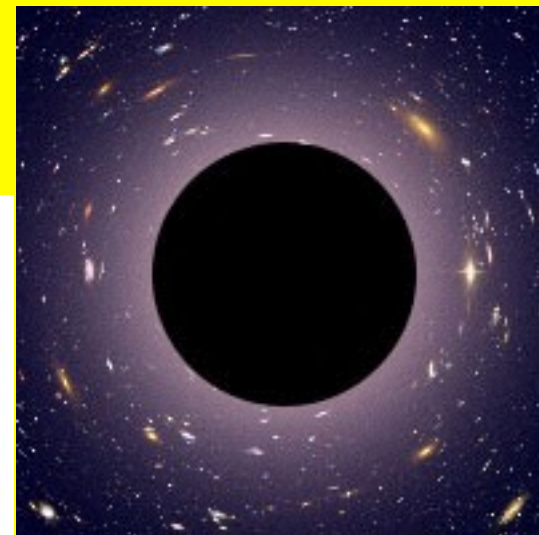


Albert Einstein (1879-1955)

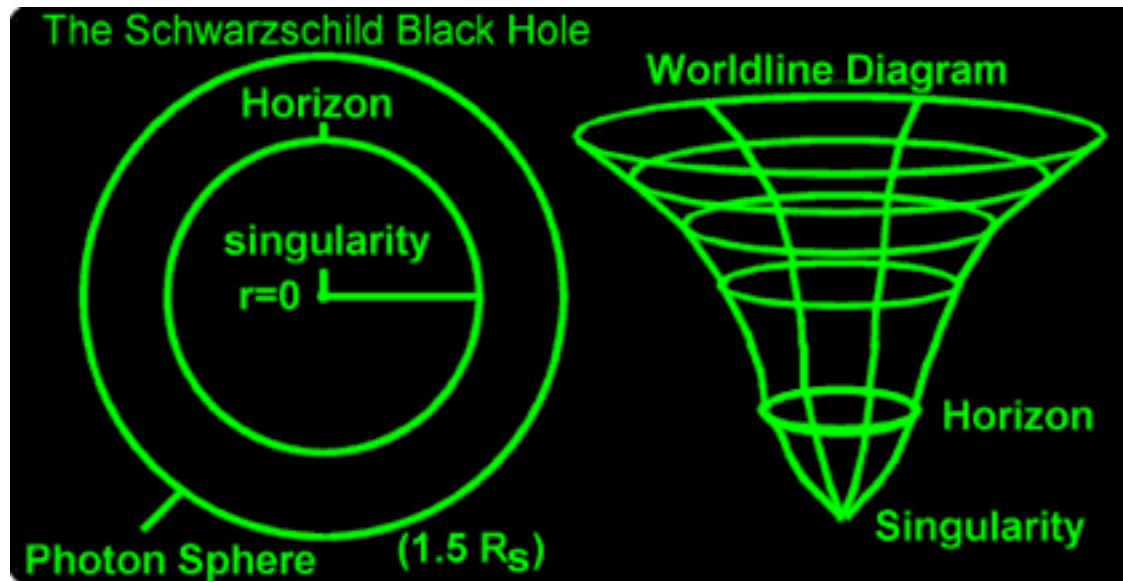
Silna grawitacja w teorii Einteina dotyczy obiektów, których **nie sposób opisać** za pomocą słabej grawitacji Newtona – nazywamy je obiektyami zwartymi.

Są to: **białe karły, gwiazdy neutronowe i czarne dziury**.

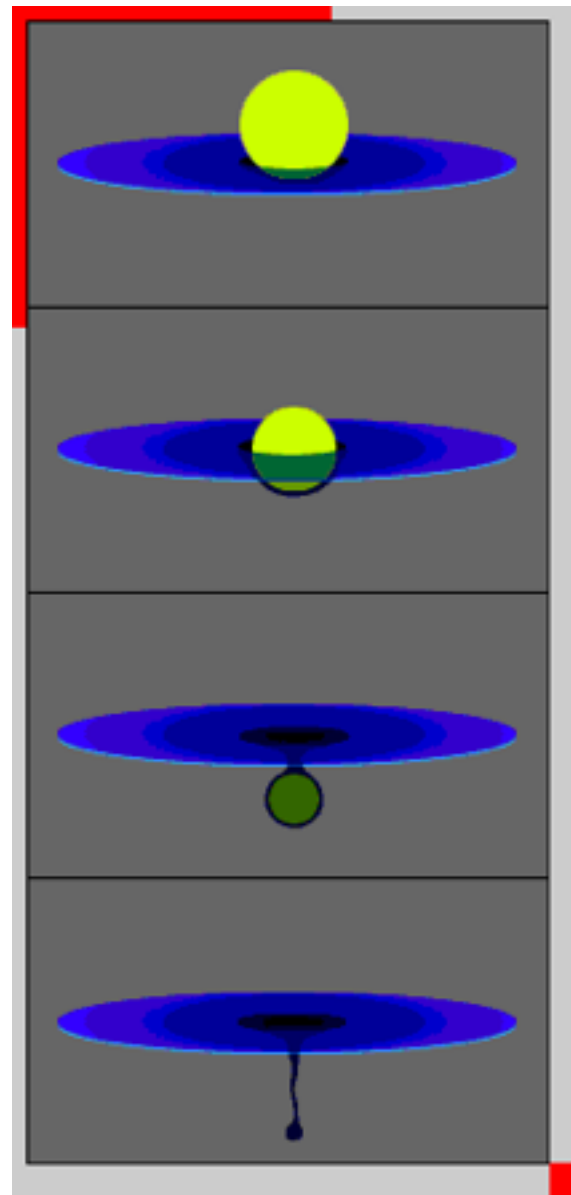
Powstają one w wyniku „**upakowania**” materii  
(atomy są “prawie puste”).



# Statyczna sferycznie symetryczna czarna dziura Schwarzschilda i jej formowanie się



Otoczona horyzontem (tu: sfera Schwarzschilda)  $r_s = 2GM/c^2$   
– pod horyzontem wszystko spada (nawet światło) na punkt centralny – osobliwość.



# Czym zatem są fale grawitacyjne?

**W teorii Einsteina przestrzeń jest ośrodkiem sprężystym - może transmitować fale.**

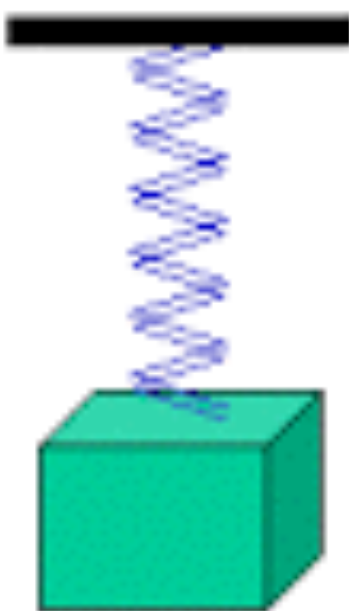
**Równania Einsteina:**  
**(materia)  $T = (c^4/8 \pi G) E$  (geometria)**

**Jak prawo Hooke'a dla siły sprężystej:**

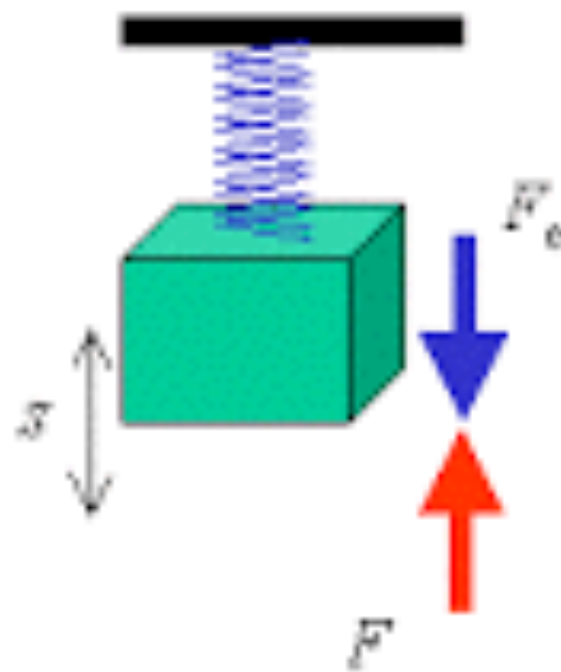
$$F = k x$$

**$(c^4/G) \approx 10^{43}$  Newtonów (bardzo sztywna sprężyna)**

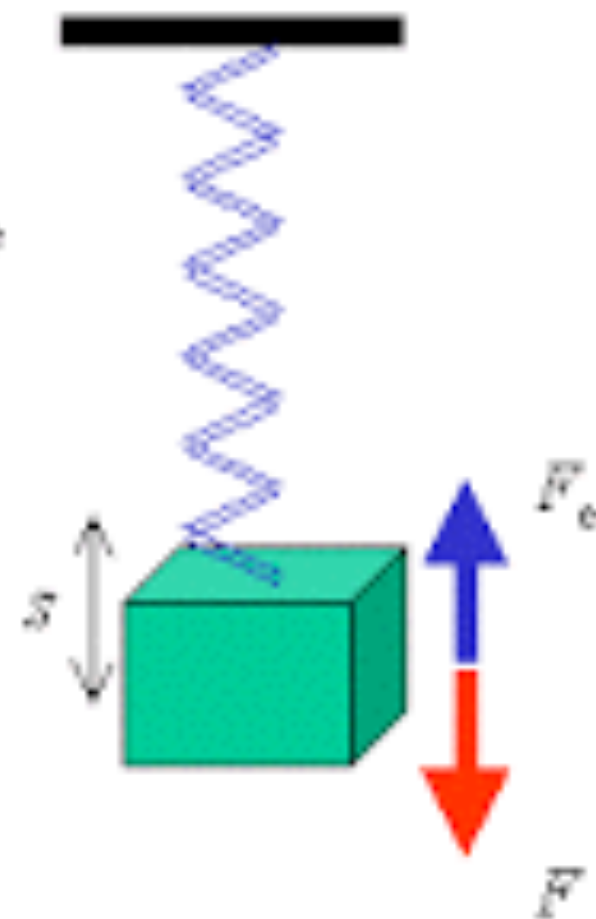
equilibrium



compressed



stretched



$$F = k s$$

Hooke's Law

# 1. Basic framework.

---

Gravitational waves were predicted by Einstein as early as his general relativity theory (1915-1918)

Space is not rigid (though extremely rigid) - it is an elastic medium and can sustain waves

Some intuitive theory

Einstein equations relate energy-momentum tensor (matter)  $T$  with Einstein tensor (geometry)  $E$ :

$$T = \frac{c^4}{8\pi G} E \quad (1)$$

which is an analogue of the Hooke's law for an elastic force  $F$  related with displacement  $x$

$$F = kx \quad (2)$$

with  $k$  an elastic constant. Alternatively, one can write the relation between an applied pressure  $p$  and the dimensionless strain  $h$

$$p = eh,$$

## Maximum force

---

For a standard spring  $k \sim 10^2$  N/m while here

$$\frac{c^4}{G} \sim 10^{43} \text{ N.} \quad (4)$$

This is an extremely large number ("rigidity" of space) and at the same time the number which give the value of the maximum force (finite) in relativity.

This is in contrary of what we have in Newton's theory since due to the Newton's gravity law

$$F \propto \frac{1}{r^2} \quad (5)$$

and so can be **infinite**. The reason is that in relativity very strong gravity objects – black holes – are covered by the horizon

$$r_g = \frac{2Gm}{c^2} \quad (6)$$

and one cannot approach their center of mass closer.

## Propagation - Newton

---

In **Newton's** theory the gravitational potential is given as solution of the Poisson equation

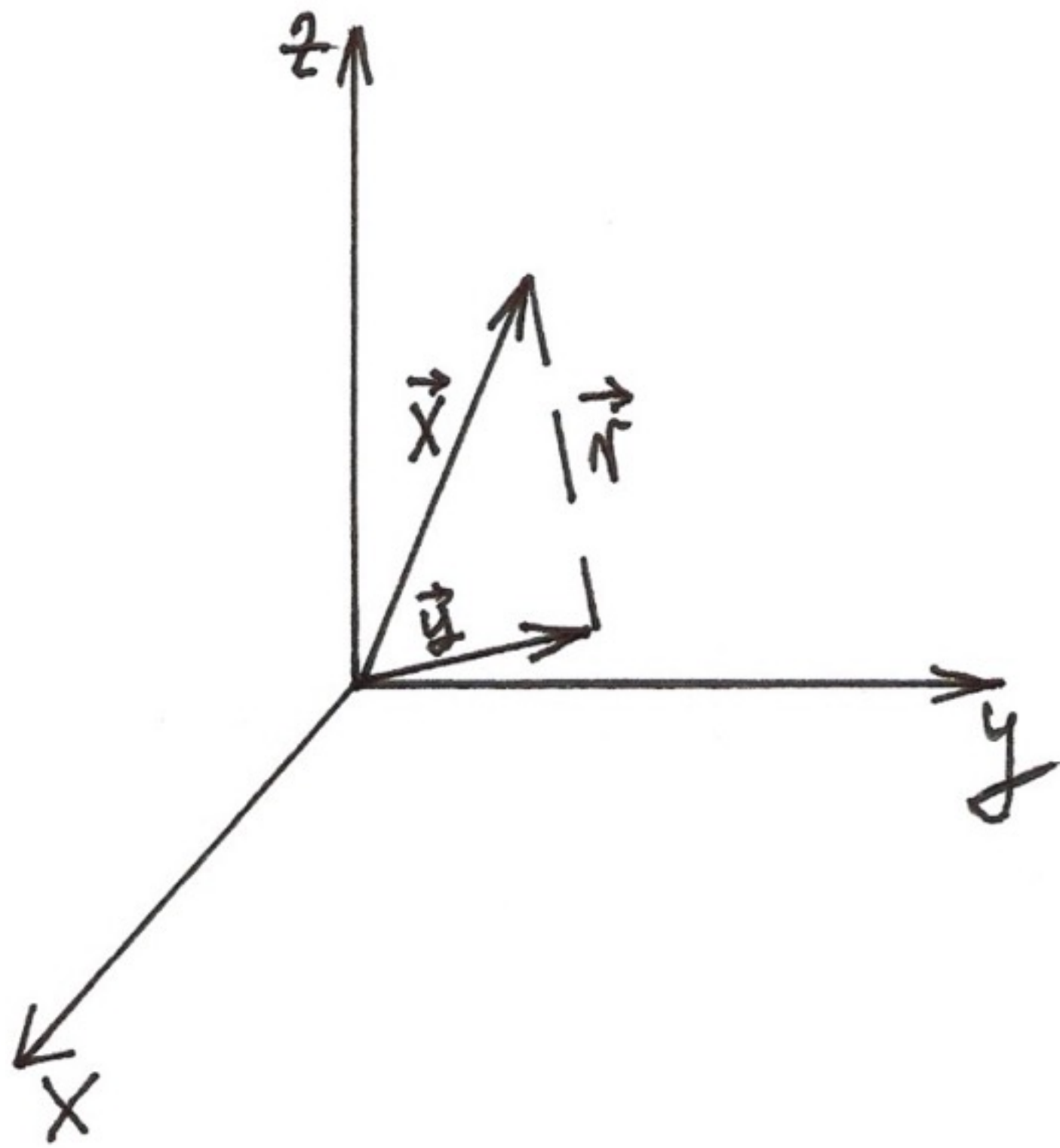
$$\nabla^2 \phi = 4\pi G \rho \quad (7)$$

given by

$$\phi_N(\vec{x}, t) = -G \int \rho(\vec{y}, t) \frac{d^3 y}{r}, \quad (8)$$

where  $r = |\vec{x} - \vec{y}|$ ,  $\vec{x}$  - distance from the center of a coordinate system to an observer,  $\vec{y}$  - distance from the center of a coordinate system to a point of a source body,  $\vec{r}$  - the distance between a point of a source body to an observer, and  $\rho$  is the mass density of a source.

**Hint:** a change of  $\rho$  causes an **instantaneous** change of  $\phi_N$  (infinite speed of information)!



## Propagation - Einstein

---

In Einstein's theory the speed of information is **finite** and so a change of  $\phi$  is delayed in time of  $r/c$  so that  $\phi$  is modified into

$$\phi_{rel}(\vec{x}, t) = -G \int \rho \left( \vec{y}, t - \frac{r}{c} \right) \frac{d^3y}{r}, \quad (9)$$

and it fulfills **the wave equation**

$$\nabla^2 \phi - \frac{1}{c^2} \frac{\partial^2 \phi}{\partial t^2} = 4\pi G \rho. \quad (10)$$

Differentiating (9) one has

$$\vec{\nabla} \phi_{rel} = G \int \left( \frac{\rho}{r} - \frac{1}{c} \frac{\partial \rho}{\partial t} \right) \frac{\vec{x} - \vec{y}}{r^2} d^3y. \quad (11)$$

## Source characteristic

---

Assume that the source fulfills the following conditions:

$$\rho \neq 0 \text{ for } |\vec{x}| < R, \quad (12)$$

$$\rho = 0 \text{ for } |\vec{x}| \geq R, \quad (13)$$

where  $R$  is the typical size of the source (radius). If  $|\vec{x}| \gg R$ , then  $r \approx |\vec{x}|$ , i.e.

$$\frac{\rho}{r^3}(\vec{x} - \vec{y}) \ll \frac{1}{cr^2} \frac{\partial \rho}{\partial t}(\vec{x} - \vec{y}) \quad (14)$$

which means that the **second term in (11) dominates**. Defining a unit vector  $\vec{n} = \vec{x}/(|\vec{x}|)$  one has

$$\vec{n} \cdot \vec{\nabla} \phi_{rel} \approx -\frac{1}{c} \frac{\partial \phi_{rel}}{\partial t} = -G \int \frac{\partial \rho}{\partial t} \frac{d^3y}{r}, \quad (15)$$

which means that  $\phi_{rel}$  "forgets" the distance from the source  $|\vec{x}|$  and is "sensitive" only to a change of mass density of a source  $\rho$ !

# Signal

---

On the other hand,  $\phi_N$  has the dependence which is determined by  $| \vec{x} |$  independently of  $\rho$  (instantaneous signal transition nullifies the term  $\partial\rho/\partial t$ ).

Dimensional analysis from Newton's theory gives (potential of the source has unit of velocity)

$$\phi_{rel} \propto (\text{velocity})^2, \quad (16)$$

which allows to define the **dimensionless AMPLITUDE OF THE WAVE** as

$$h = \frac{(\text{time dependent part of } \phi_{rel})}{c^2}. \quad (17)$$

One needs to find the time-dependent part of  $\phi_{rel}$  in the "far from the source zone"  $| \vec{x} | \gg R$ :

$$\frac{1}{r} = \frac{1}{| \vec{x} |} + 2 \frac{\vec{y} \cdot \vec{n}}{| \vec{x} |^2} + \dots \quad (18)$$

a slow change of  $\rho$  is  $t_0 \equiv t - | \vec{x} | / c$ , so that

$$t - t_0 = | \vec{x} | / c - | \vec{x} - \vec{y} | / c = -\vec{n} \cdot \vec{y} / c + O(| \vec{x} |^{-1})$$

Gravitational wave detection p. 8/17

## Taylor expansion and conserved quantities

---

One can expand in series the mass density of the source

$$\rho(t) = \rho(t_0) + \dot{\rho}(t)(t - t_0) + \frac{1}{2}\ddot{\rho}(t - t_0)^2 + \dots \quad (20)$$

which gives

$$\begin{aligned} \phi_{rel} &= -\frac{G}{|\vec{x}|} \int \rho \left( \vec{y}, t - \frac{r}{c} \right) d^3y \\ &- \frac{G}{|\vec{x}|} \int \left[ \color{red}{\rho(t_0)d^3y} - \color{blue}{\frac{1}{c}\dot{\rho}(t_0)\vec{n} \cdot \vec{y}d^3y} + \color{green}{\frac{1}{2}\ddot{\rho}(t_0)(\vec{n} \cdot \vec{y})^2d^3y} \right] + \dots \end{aligned} \quad (21)$$

It emerges that only the **last term** actually depends on time since:

$$\int \rho(t_0)d^3y = M = \text{const.} \quad (22)$$

is a conserved (constant) mass of a source,

## Quadrupole moment

---

$$\frac{1}{\vec{n}} \text{"blue - term"} = \int \dot{\rho}(t_0) y_i d^3y = \int \rho V_i d^3y = p_i = \text{const.} \quad (23)$$

where we have used the continuity equation  $\dot{\rho}(t_0, \vec{y}) = -(\partial/\partial y_j)(\rho V_j)$ . This relation is nothing else like the **conservation of momentum** law which is valid for gravitating systems. Finally,

$$\frac{1}{|\vec{n}|^2} \text{"green - term"} = \int \ddot{\rho}(t_0) y_i y_j d^3y = \ddot{I}_{ij} \quad (24)$$

which gives the **second derivative of the quadrupole moment!!!**. The nature of gravitational waves is quadrupole!!!

Remind that electromagnetic waves are dipolar:

$$\text{"red - term"} = Q = \text{const.} \quad (25)$$

$$\text{"blue - term"} = \dot{d}_i = \int \dot{\rho} y_i d^3y = \rho V_i d^3y \neq \text{const}, \quad (26)$$

where  $Q$  is charge and  $\rho$  current density.

## Traceless quadrupole moment

---

Using the above formulas one gets that the dimensionless amplitude of the wave

$$h \approx \frac{G}{2c^4} \frac{\ddot{I}_{ij} n_i n_j}{| \vec{x} |} \quad (27)$$

and it is a function of the second derivative of the quadrupole moment. In general relativity  $I_{ij}$  is substituted by a traceless quadrupole moment

$$I_{ij}^T = I_{ij} - \frac{1}{3} \delta_{ij} I \quad (28)$$

since now  $h$  is a traceless ( $h_{xx} = -h_{yy}$ ) and a symmetric ( $h_{xy} = h_{yx}$ ) tensor which has 2 independent polarization states known as  $h_+$  and  $h_x$ . The gravitational waves alike electromagnetic waves are **transverse**.

Because the only tensor which does not change under rotations is  $I_{ij} \propto \delta_{ij}$ , and so  $I_{ij}^T = 0$ , then **the spherically symmetric movements** (e.g. perfect SS gravitational collapses) **do not generate gravitational waves**.

## Quadrupole formula

---

in general relativity is

$$h_{ij} = \frac{2G}{c^4} \frac{\ddot{I}_{ij}^T}{|\vec{x}|}, \quad (29)$$

where

$$I_{ij}^T = \int \rho t \left[ x^j x^k - \frac{1}{3} x^2 \delta^{jk} \right] d^3x. \quad (30)$$

After an analysis of the energy radiated by a source (the "near-zone" approximation) one gets the quadrupole formula for the **total luminosity of the source** as

$$L = \frac{G}{5c^4} \ddot{I}_{ij}^T \ddot{I}_{ij}^T \propto \dot{h}_{ij}^2 \quad (31)$$

which for any self-gravitating source fulfills the condition

$$L \leq L_0 \left( \frac{\phi_{source}}{c^2} \right)^5 \quad \text{and} \quad L_0 \equiv \frac{c^5}{G} = 3.629 \cdot 10^{52} J/s \quad (32)$$

is the "natural luminosity" which is an upper limit (cf. maximum force  $c^4/G$ ).

## 2. Gravitational wave detection

---

Physical interpretation of  $h$  is the relative strain in a system of free particles on distance  $l$  (tidal forces):

$$| h_0 | = | \delta l_0 / l | \quad (33)$$

and this strain is proportional to a size of a detector - the longer the detector, the stronger the signal.

Dimensionless amplitude is extremely tiny of the order of  $h \sim 10^{-20}$  and so its detection is an intriguing technological challenge!

One has two basic techniques:

- bar antennas
- laser interferometer antennas

## Dimensionless amplitude of a wave:

$$h = (\text{time-dependent part of the potential})/c^2$$

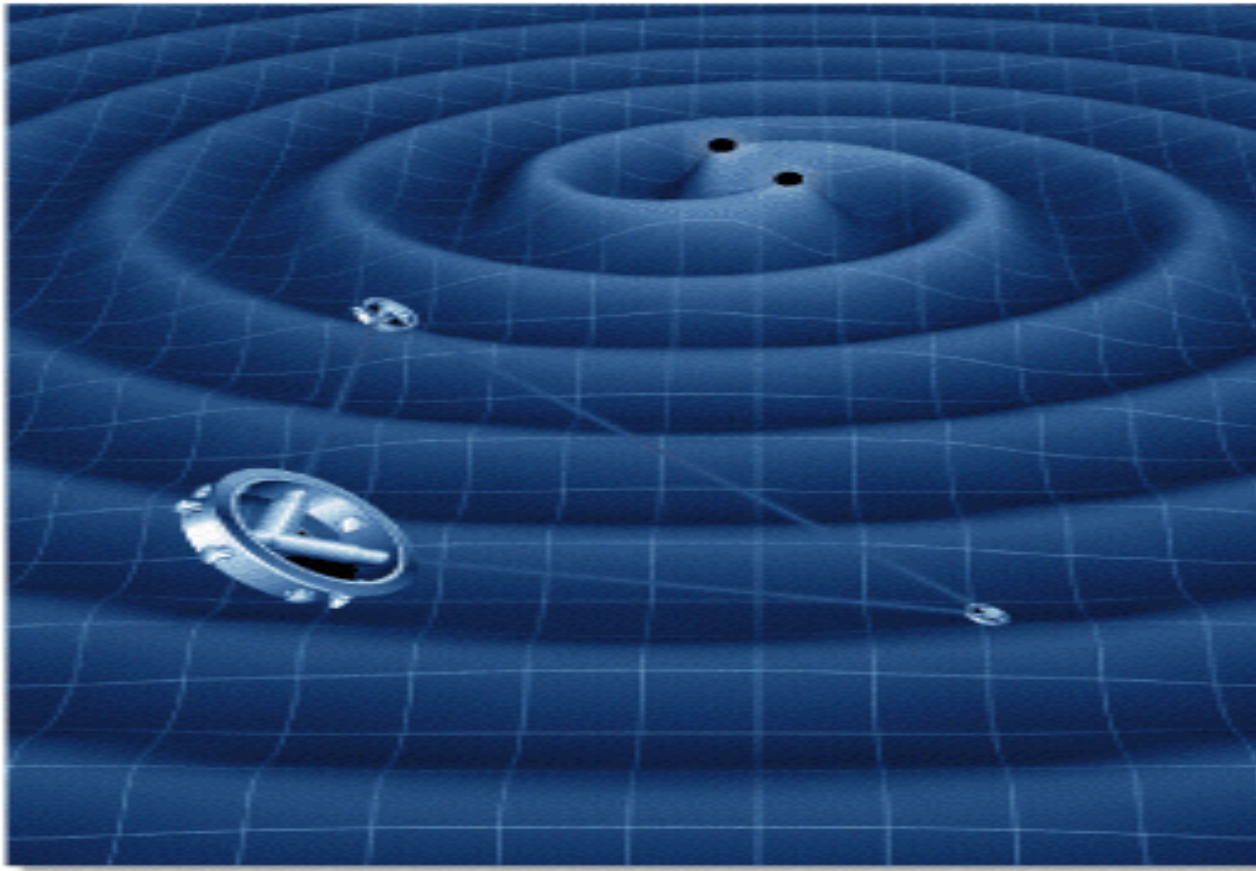
Fully relativistic picture (Einstein) -  $h$  is a tensor

$$g^{\mu\nu} = \eta^{\mu\nu} + h^{\mu\nu}, |h^{\mu\nu}| \ll 1$$

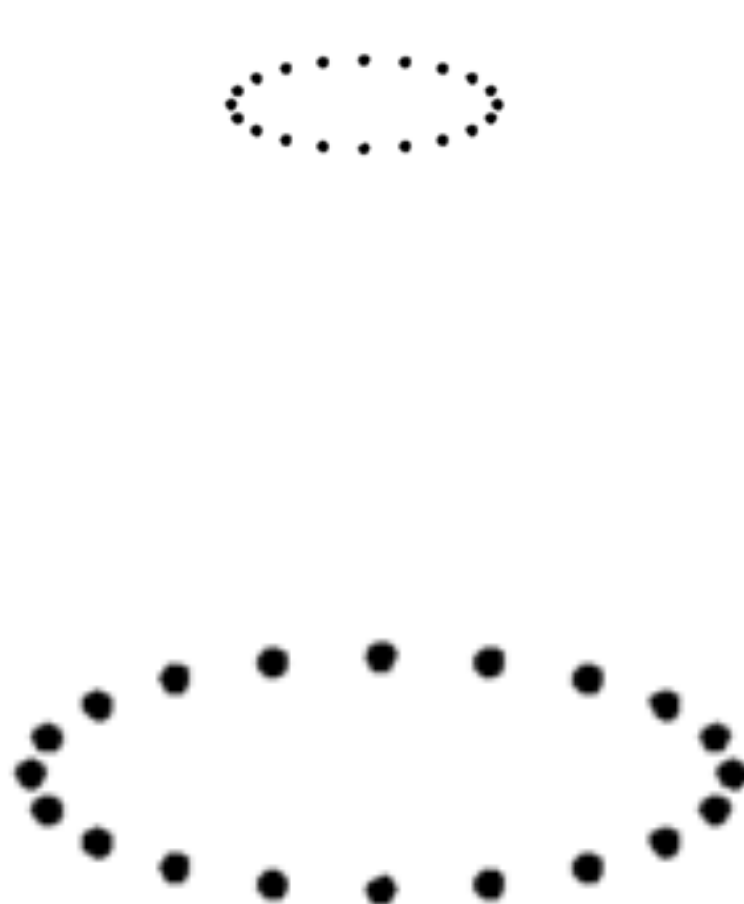
- traceless, symmetric, transverse,
- 2 independent polarization states  $h_+$  and  $h_x$
- $h$  is always tiny: one measures the extension of the arm of a detector  
(e.g.  $\approx 10^{-21}$  for 10 Mpc supernovae)

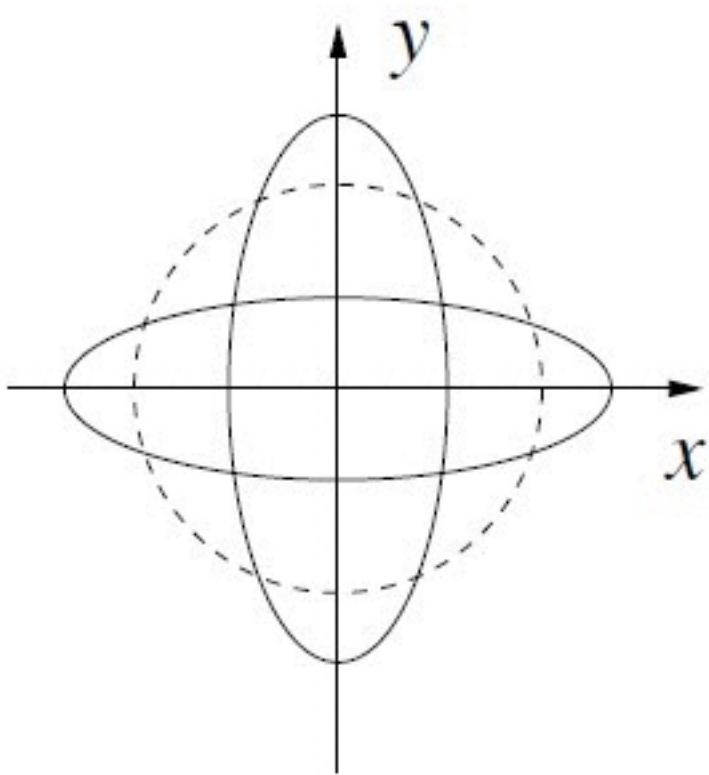
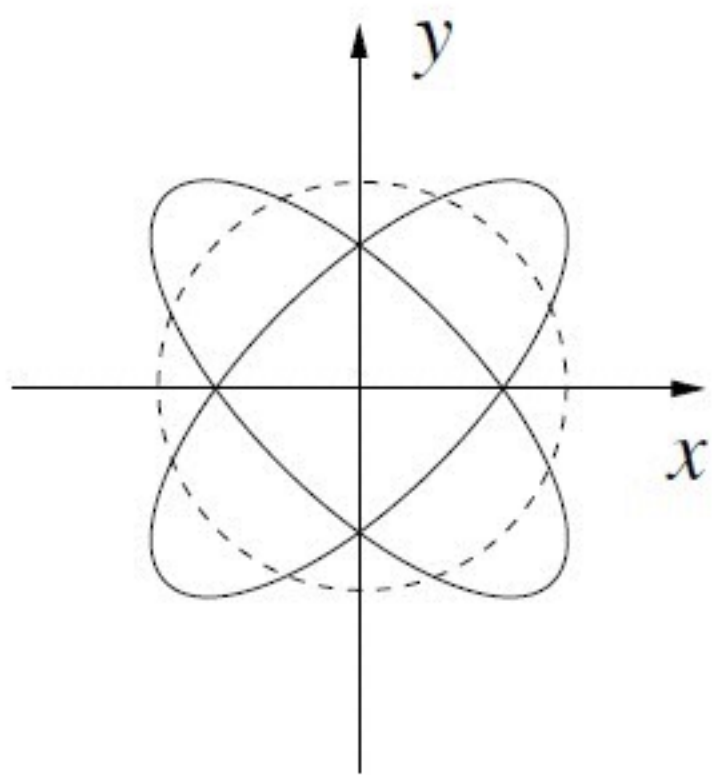
Czasoprzestrzeń może się odkształcić jak fala na wodzie (drgania czasoprzestrzeni).

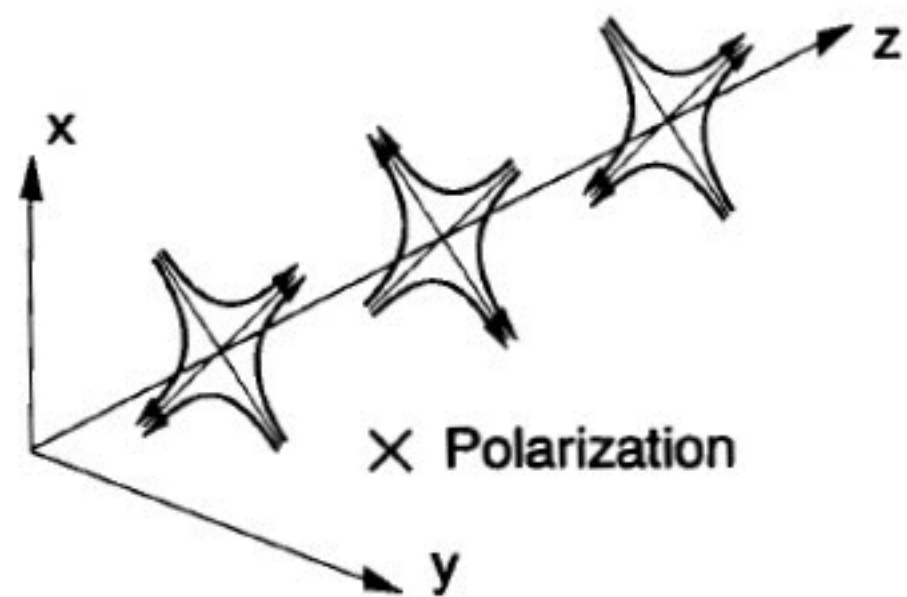
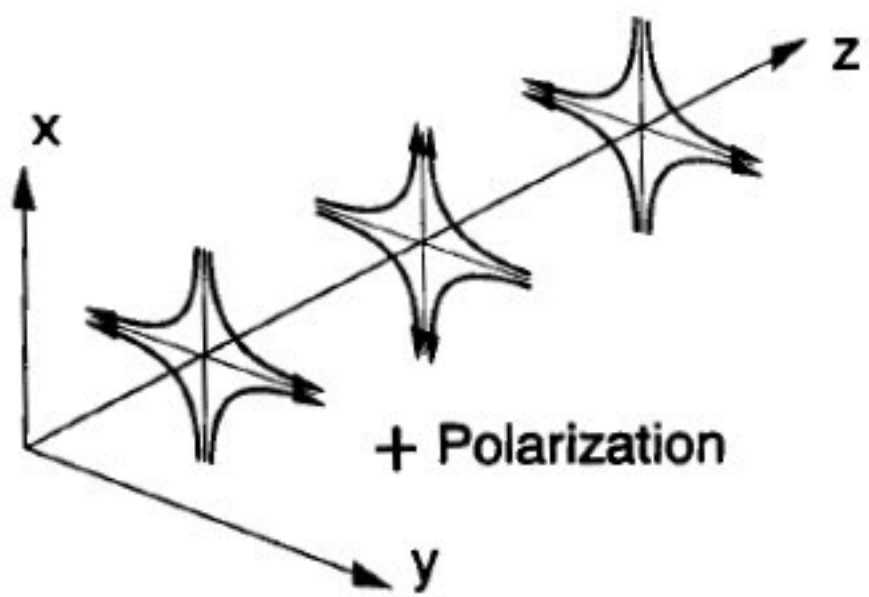
Efekt niewielki.

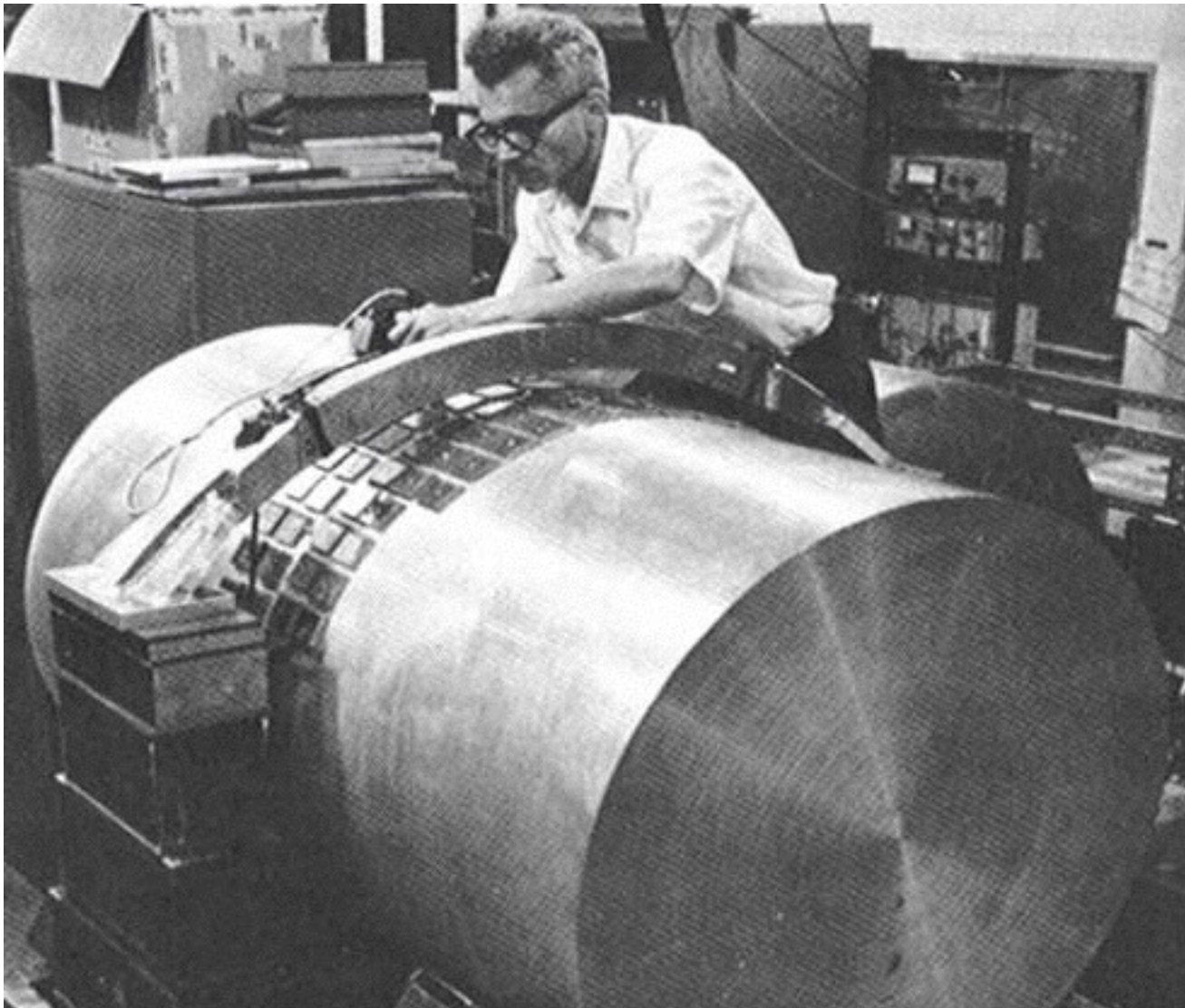


Dwie polaryzacje fali  $h^+$  i  $h_x$  - wymagane dwie (najlepiej prostopadłe) “anteny” z częstek.

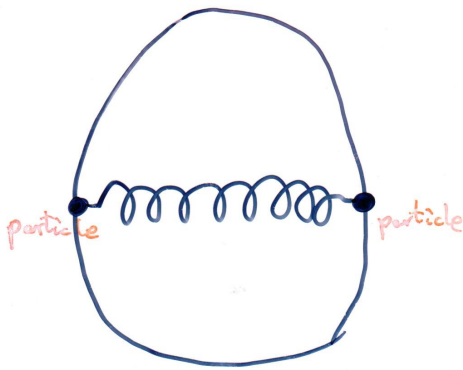



$$h_+$$

$$h_\times$$



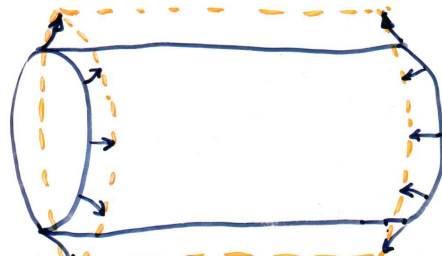


**Detektory prętowe - prof. John Weber przy pionierskiej  
antenie, ok. 1965r**

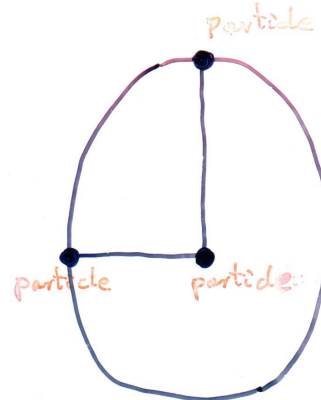


(GW does work on oscillator)

↓ replaced by  
metal bar  
and piezoelectric  
material



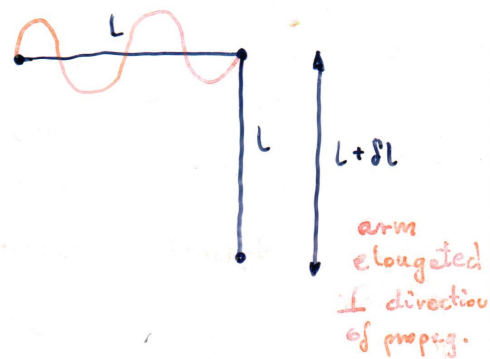
Weber antenna

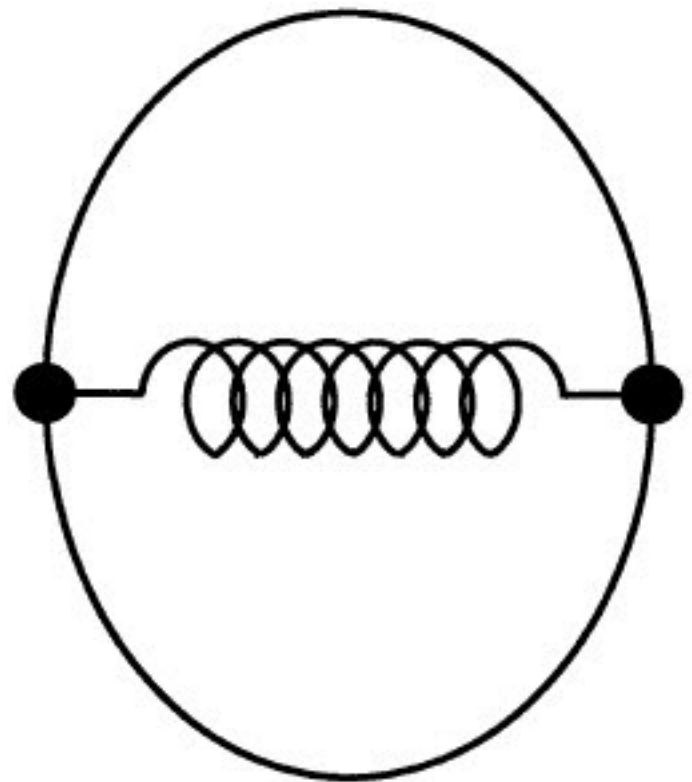


laser interferometer

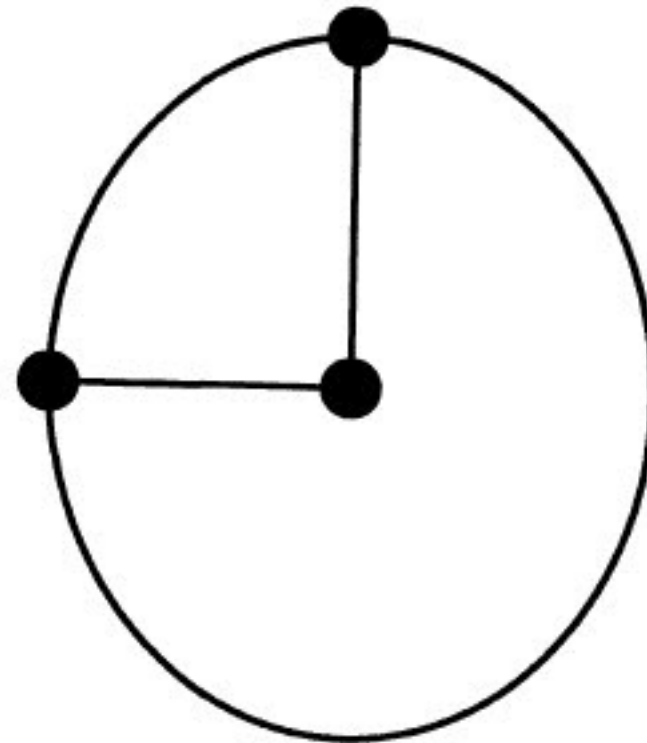
(GW does work on the laser  
beam and cause  
a small frequency shift)

↓ Michelson  
interferometer





(a)



(b)

Detektor prętowy (na lewo - Weber 1960) i interferometr laserowy (na prawo)  
kwadrupolowy oscylator harmoniczny - interferometr laserowy

## Problems :

(6)

bar

- thermal noise ( little damping in fund. freq. of longest oscill. )
- Brownian motion ( cooling to few  $^{\circ}\text{K}$  )

- quantum limit!

$$\begin{aligned} &\text{- typical signal } (h \sim 10^{-28}) \\ &E \sim 2 \cdot 10^{-32} \end{aligned}$$

- an energy of a phonon

$$E_{\text{ph}} \sim \hbar \omega \sim 6 \cdot 10^{-31}$$

( bar cannot be in an eigenstate of energy )  
'quantum wave demolition'

laser

$$\text{suppose } L \sim 100 \text{ m}$$

$$h \sim 10^{-28}$$



$$|SL| \sim |h \cdot L| \sim 10^{-49} \text{ m}$$

visible light

$$\text{wavelength } \lambda_g \sim 2 \cdot 10^{-13} \text{ m}$$

→ required to get interference pattern

needs longer arm!

- multi-pass interferometer  
(1 km  $\times$  300 reflections = 300 km)

- "recycling" of light  
normally thrown away  
after interference pattern  
is read



to get really longer arm  
one should place an  
interferometer in space!

# Źródła fal grawitacyjnych

Najkrótsze fale, czyli takie, które mają **częstość od 1 do  $10^4$  Hz** (HF) to fale pochodzące od:

- wybuchających gwiazd supernowych,
- gwiazd neutronowych (pulsarów),
- zderzających się i zlepiających gwiazd neutronowych,
- czarnych dziur o masie nie większej niż  $1000 M$  ( $M$  – masa Słońca),
- obiektów egzotycznych, takich jak:
  - gołe osobliwości (czarne dziury bez horyzontu zdarzeń),
  - gwiazdy bozonowe (gwiazdy tworzone przez cząstki oddziaływanie
  - bozony)

Fale o tej częstotliwości są odpowiednie dla eksperymentów na Ziemi.

**Fale o częstotliwości od  $10^{-3}$  do 1 Hz (LF) mogą pochodzić od:** • układów podwójnych gwiazd,

- masywnych czarnych dziur (ponad  $1000 M_{\odot}$ ),
- zlepiających się czarnych dziur,
- procesów występujących we Wczesnym Wszechświecie:

- inflacji (szybkiego „rozdymania” się Wszechświata od chwili  $10^{-35}$  s po Wielkim Wybuchu),
- przejść fazowych (np. elektrosłabych),
- grawitacyjnego promieniowania Słońca.

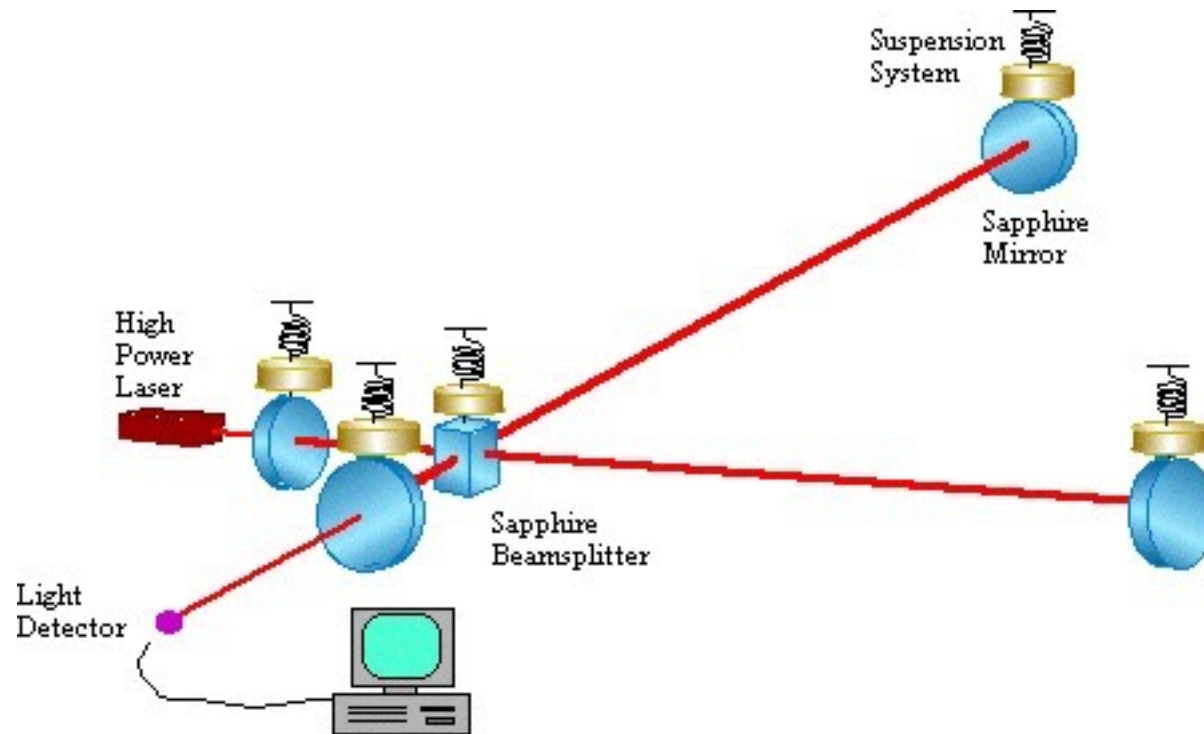
Takie fale mogą być badane jedynie przez eksperymenty kosmiczne ze względu na duże szумy na Ziemi spowodowane falami sejsmicznymi, przejazdami ciężarówek, itp.

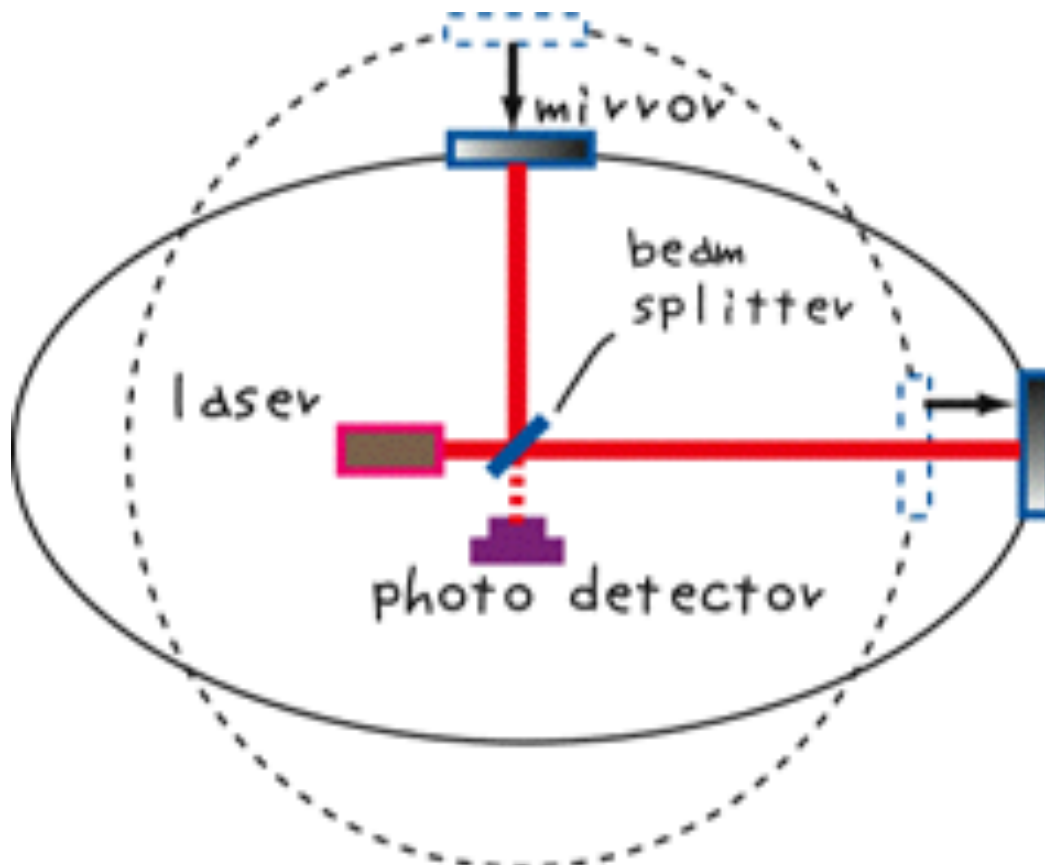
**Fale o częstotliwości od  $10^{-7}$  do  $10^{-9}$  Hz (VLF) pochodzą tylko od procesów Wczesnego Wszechświata, takich jak:**

- efekty przejść fazowych (drgające i oddziałujące ze sobą struny kosmiczne i ściany domen),
- grawitacyjne promieniowanie reliktowe (grawitacyjne promieniowanie tła).

**Fale o częstotliwości od  $10^{-15}$  do  $10^{-18}$  Hz (ELF) pochodzą wyłącznie od promieniowania grawitacyjnego tła.**

# **Detektor interferometryczny (laserowy) - bada względne wydłużenie/skrócenie ramion detektora o wielkość $h=\Delta L/L=10^{-21}$ (ruch mas zamiast ruchu ładunków)**





$$\Delta L/L = a_+ h_+(t) + a_- h_-(t) \equiv h(t)$$

and  $h(t)$  is called the dimensionless amplitude (strain) of the wave.

# **Detector 1: Hanford, Washington (LIGO - Laser Interferometer Gravitational-wave Observatory)**



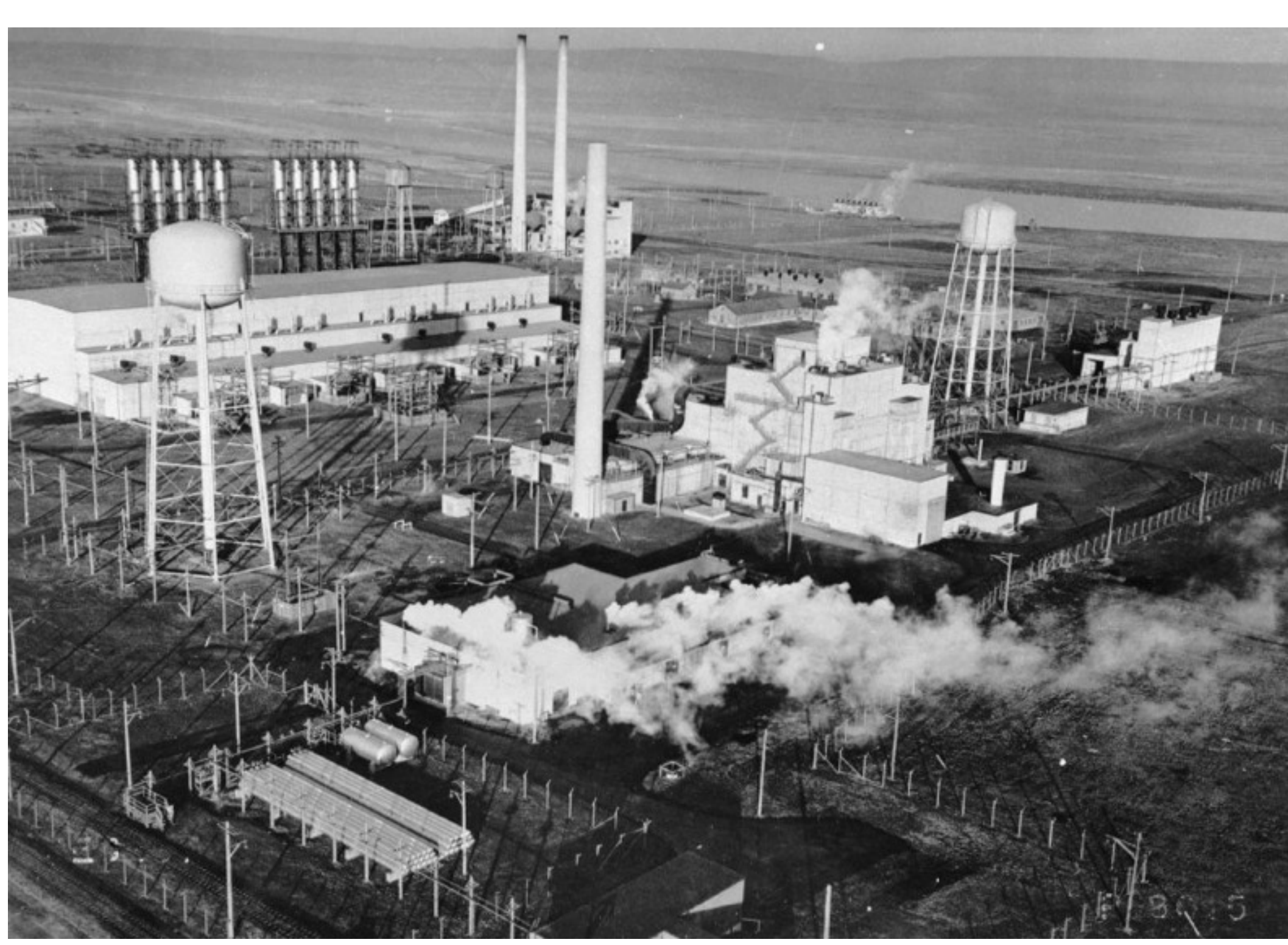
**Hanford Site Nuclear - od 1943 główne miejsce produkcji plutonu do bomb atomowych (B-reactor)**

**Plutonu wyprodukowanego w Hanford Site użyto m.in. do:**

- pierwszej bomby zdetonowanej w Trinity Site
- Fat Man'a zrzuconego na Nagasaki

**W czasie zimnej wojny pracowało 5 reaktorów produkujących pluton**

**Na jego bazie skonstruowano 60.000 bomb atomowych**



LE 35



United States  
Department of Energy

# Hanford Site

**RESTRICTED GOVERNMENT AREA**

NATIONAL DEFENSE STATE OF WASHINGTON

UNITED STATES REGULATIONS APPLY

VEHICLES SUBJECT TO SEARCH

PROHIBITED ARTICLES

WEAPONS

NUCLEAR

BIOTIC

TOXIC

EXPLOSIVES

OBSTACLES

WEAPONS

NUCLEAR

BIOTIC

TOXIC

EXPLOSIVES

OBSTACLES

WEAPONS

NUCLEAR

BIOTIC

TOXIC

EXPLOSIVES

OBSTACLES

**CONTAMINATED  
AREA**

GROUND SURFACES CONTAMINATED

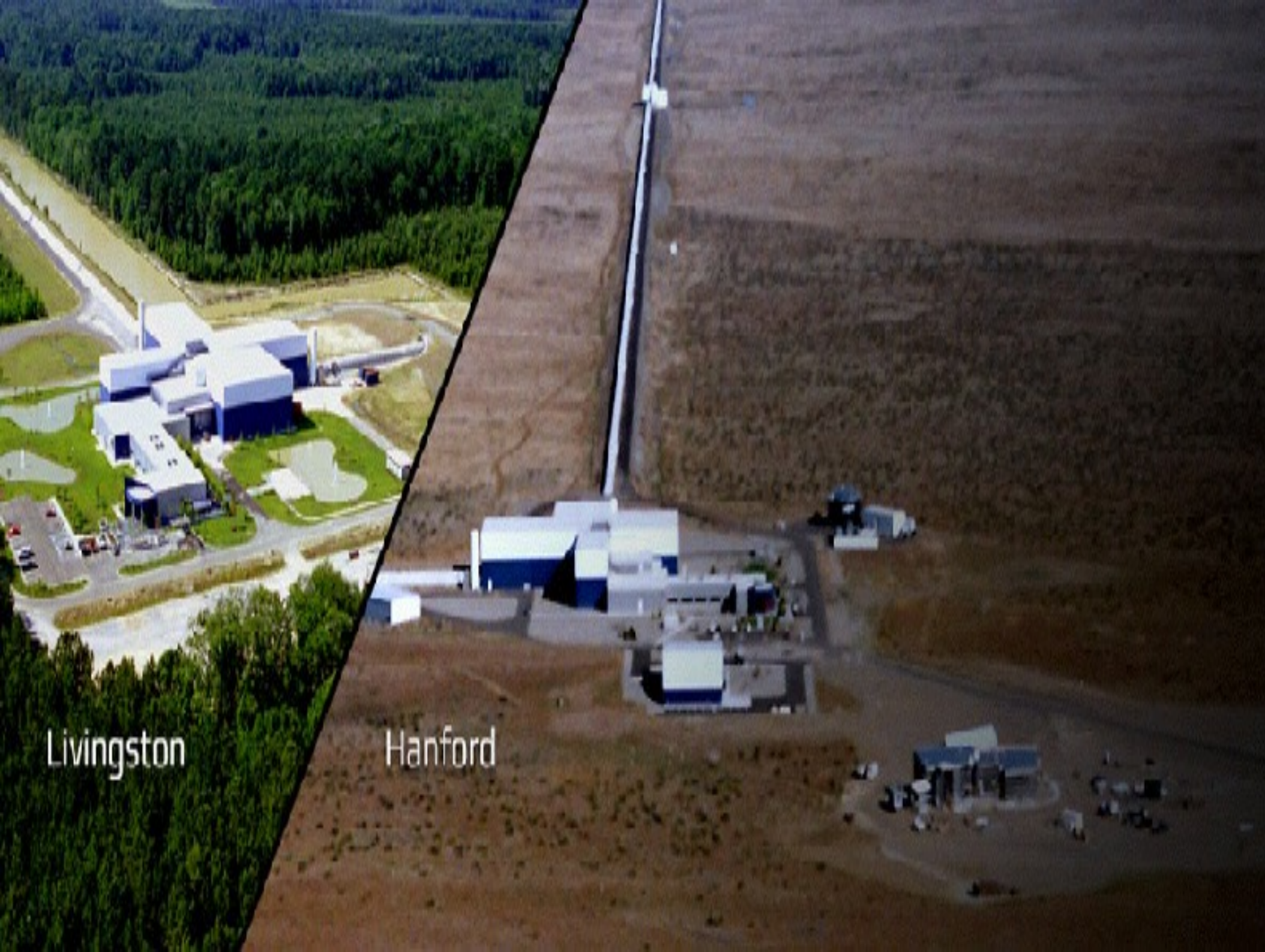
**STAY ON ROADWAY  
TO NEXT JUNCTION**

RADIOLOGICAL SCIENCE DEPT.



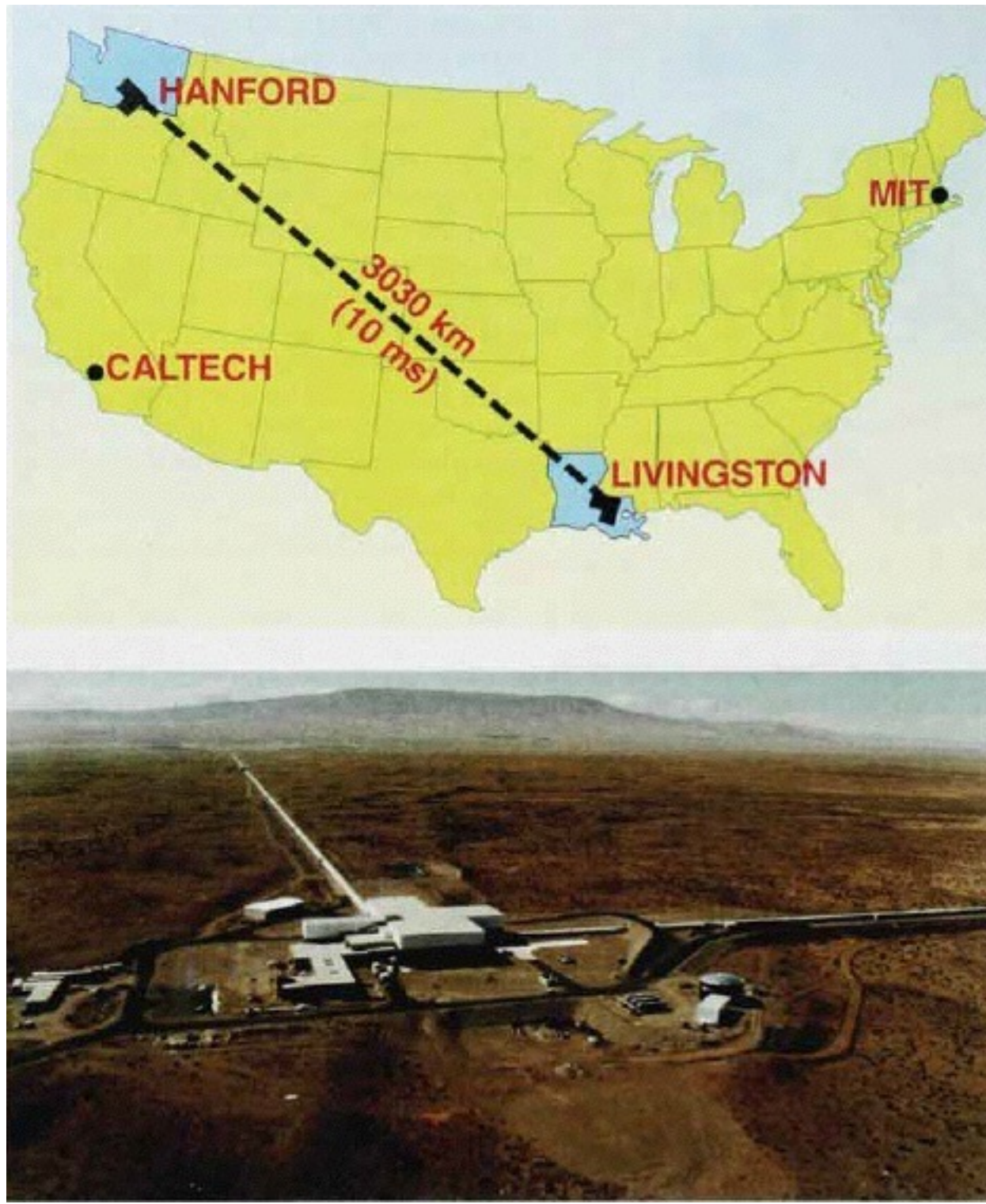
# **Detector 2: Livingston, Louisiana (LIGO - Laser Interferometer Gravitational-wave Observatory)**





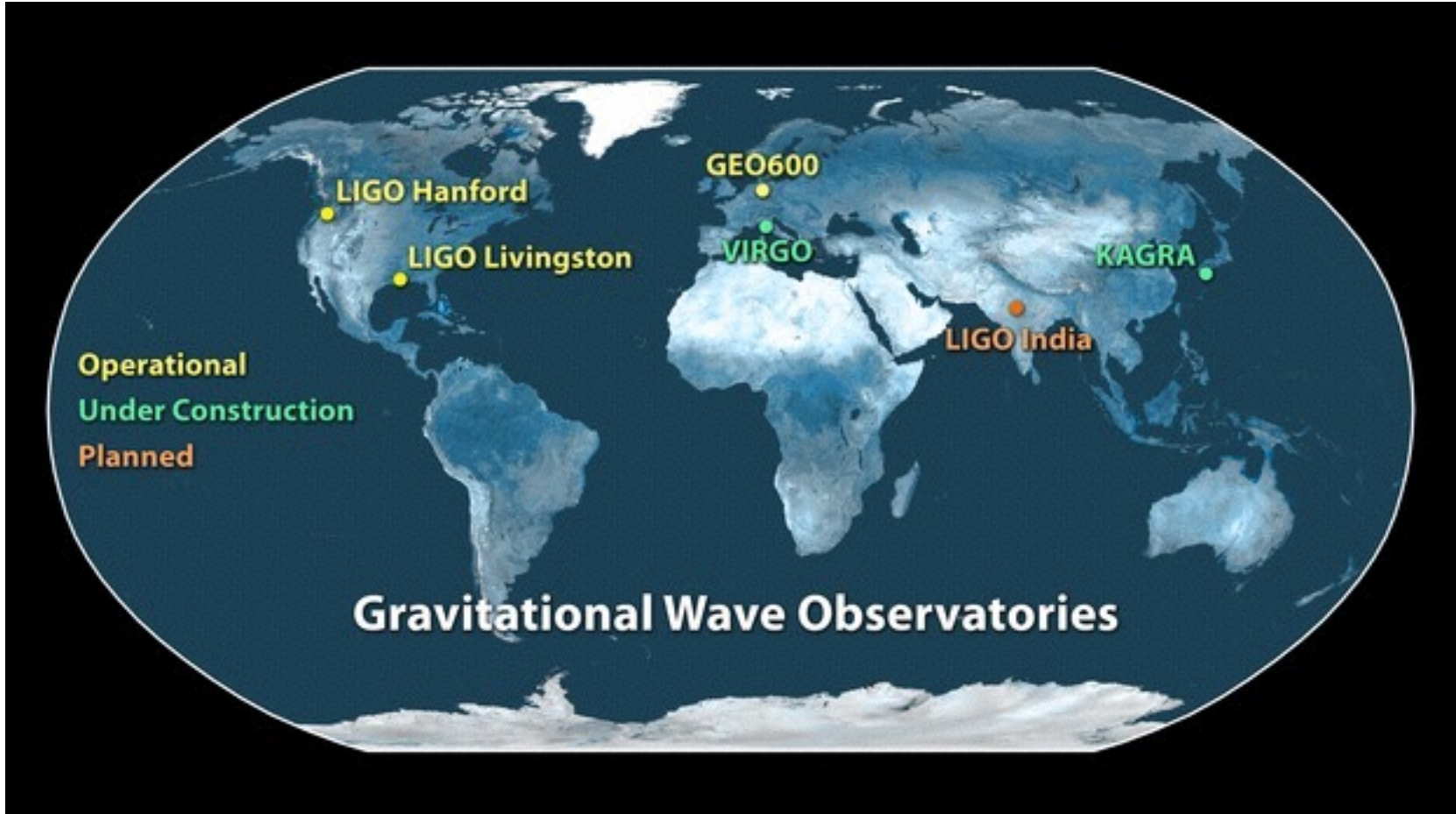
Livingston

Hanford



Inne detektory:  
**GEO600 (Hannover)**  
**VIRGO (Pisa, Italy)**  
**KAGRA (Japan)**

W przestrzeni kosmicznej (planowane):  
**LISA (Laser Interferometer Satellite Antenna)**  
**DECIGO (DECI-hertz Gravitational wave Observatory)**  
**BBO – Big-Bang Observer**  
**LISA-pathfinder (wystrzelony 12/2015)**



# lisa pathfinder

iabc

esa

AIRBUS  
DEFENCE & SPACE



WEIGHT EARTH 1100 kg  
MAXIMUM GROSS WEIGHT STOKE 5000 kg  
DIMENSIONS : L 3700 mm x D 2000 x H 2000  
mm x mm x mm

HANDLE WITH CARE

DO NOT DROP  
OPEN ONLY IN THE PRESENCE  
OF A REPRESENTATIVE OF QUALITY CONTROL  
AND IN ACCORDANCE WITH OPERATOR'S INSTRUCTIONS  
DO NOT OPEN IN ANY CONDITIONS WHICH MAY CAUSE  
THE EQUIPMENT TO COLLAPSE OR TO DAMAGE THE PACKAGED EQUIPMENT

DO NOT

AIRBUS  
DEFENCE & SPACE

4000

1000

1000

1000

1000

1000

1000

1000

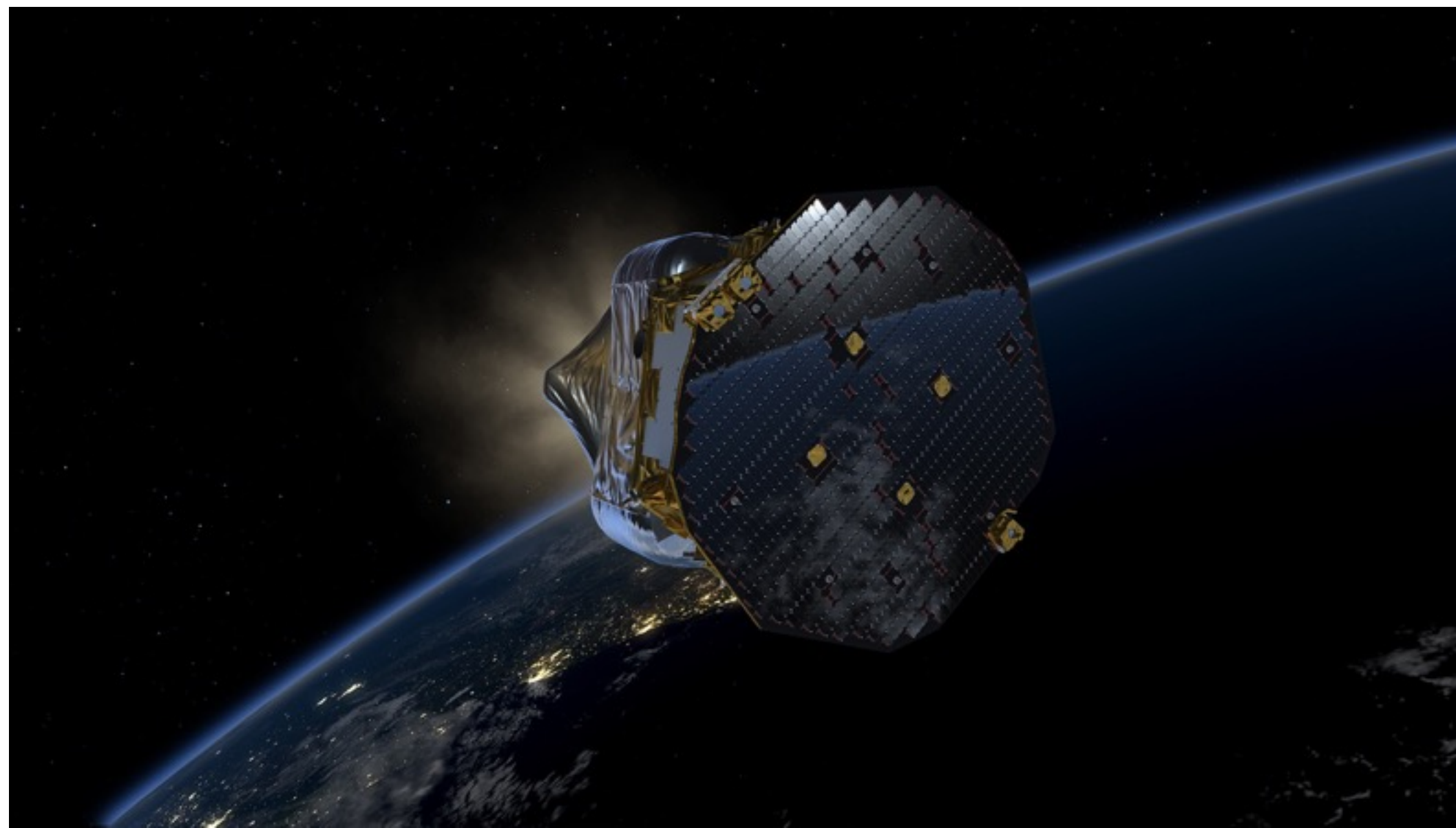
1000

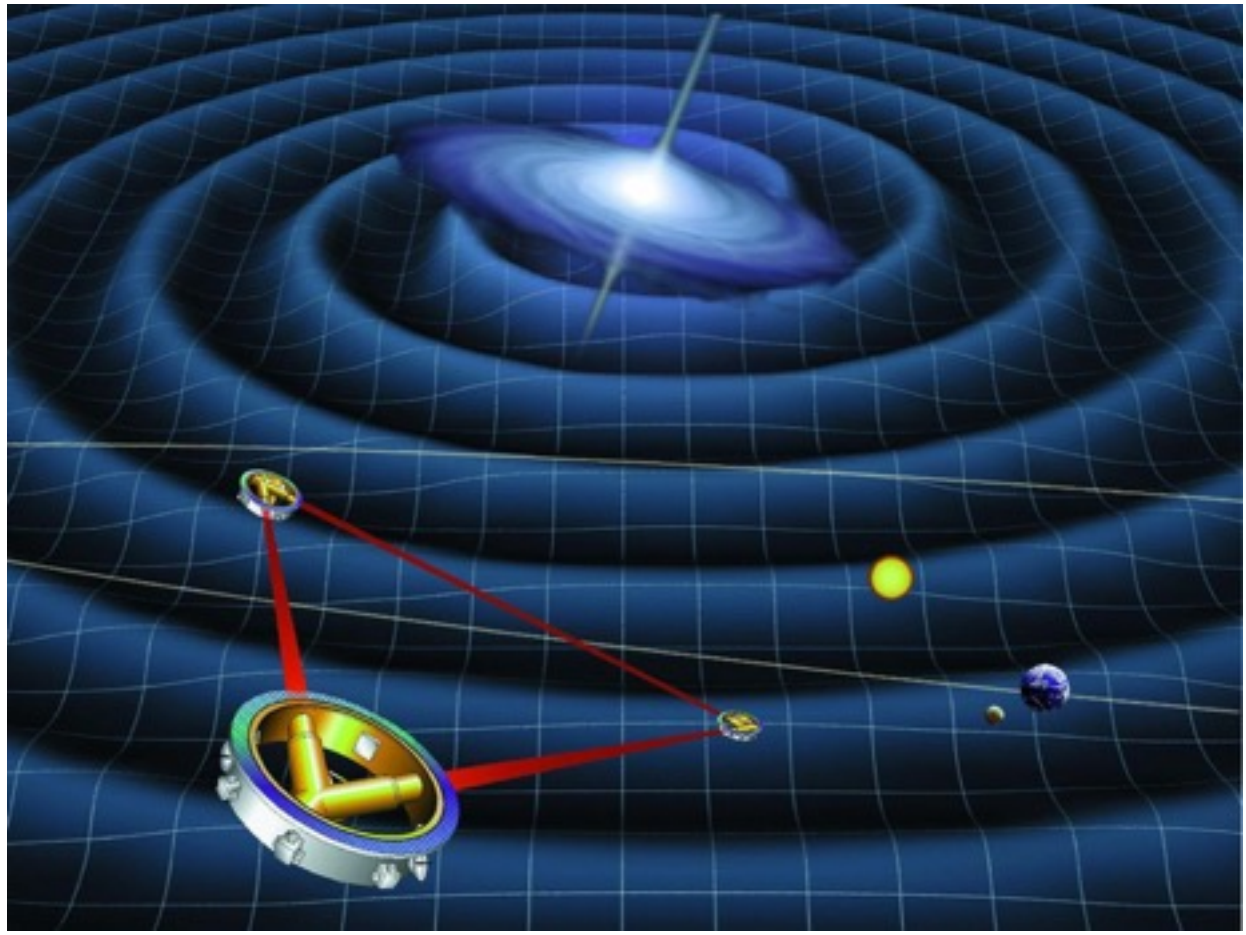
1000

N

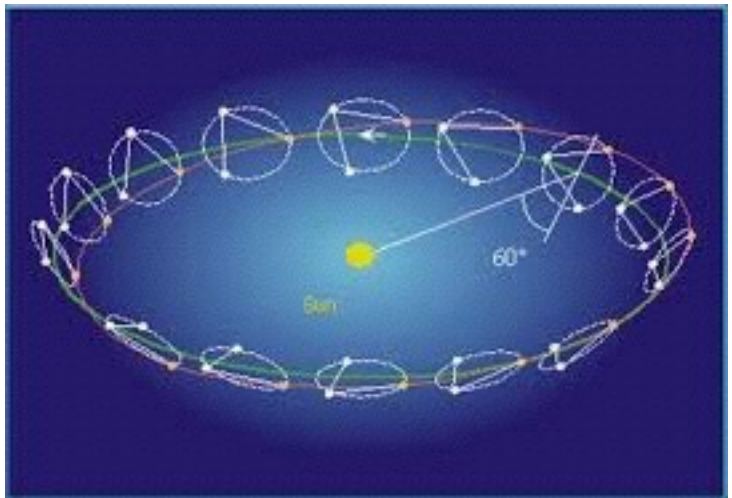
O



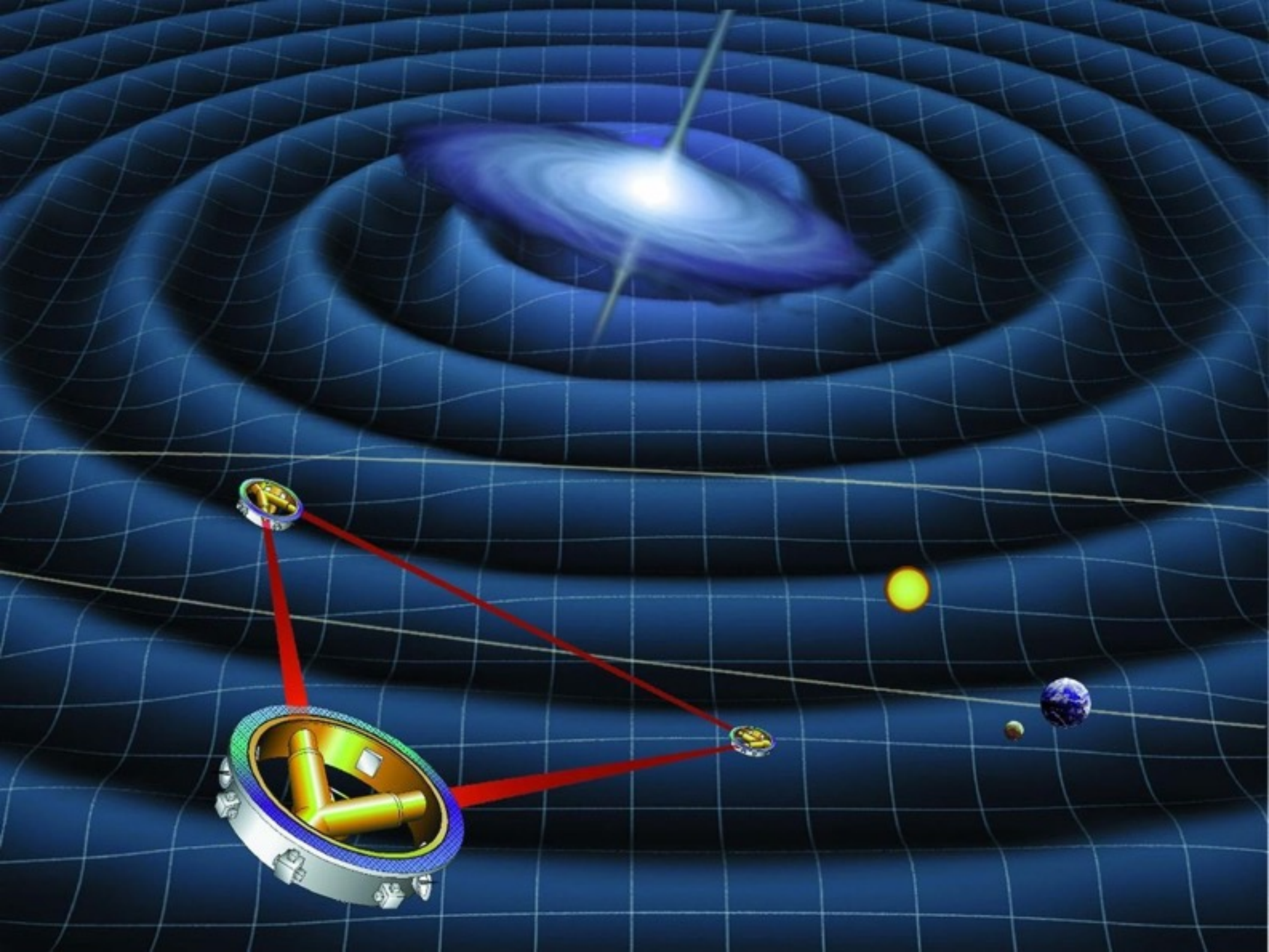


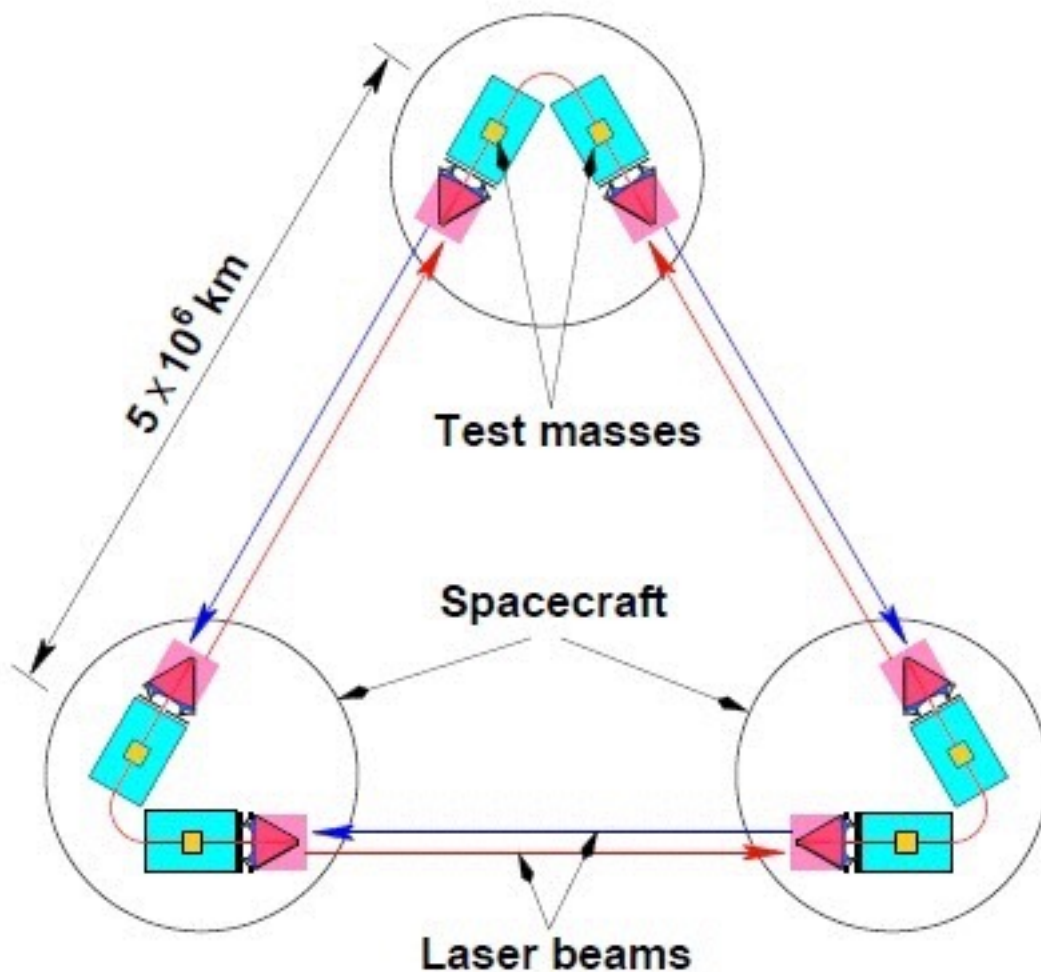


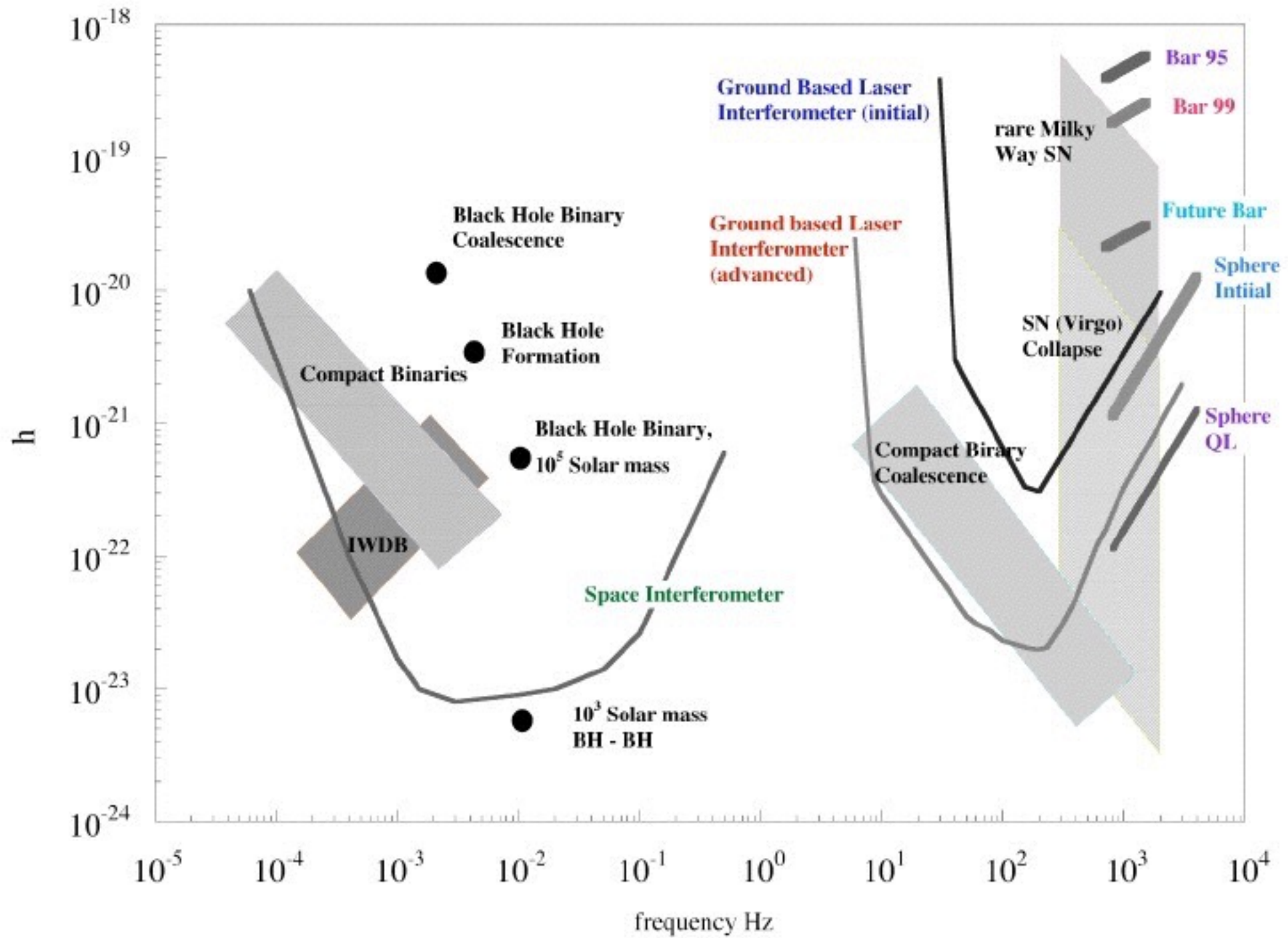
**LISA**

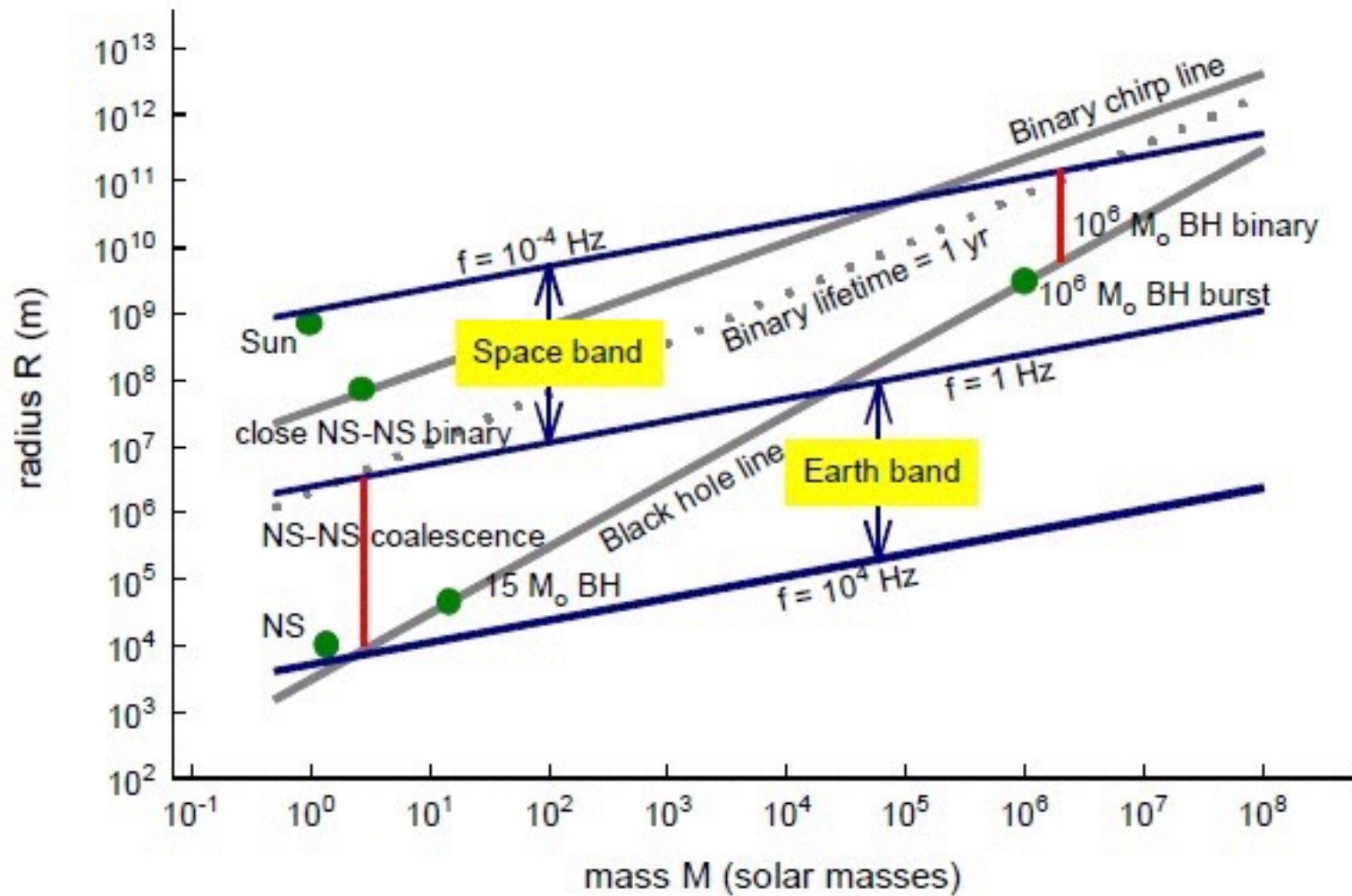


**eLISA**

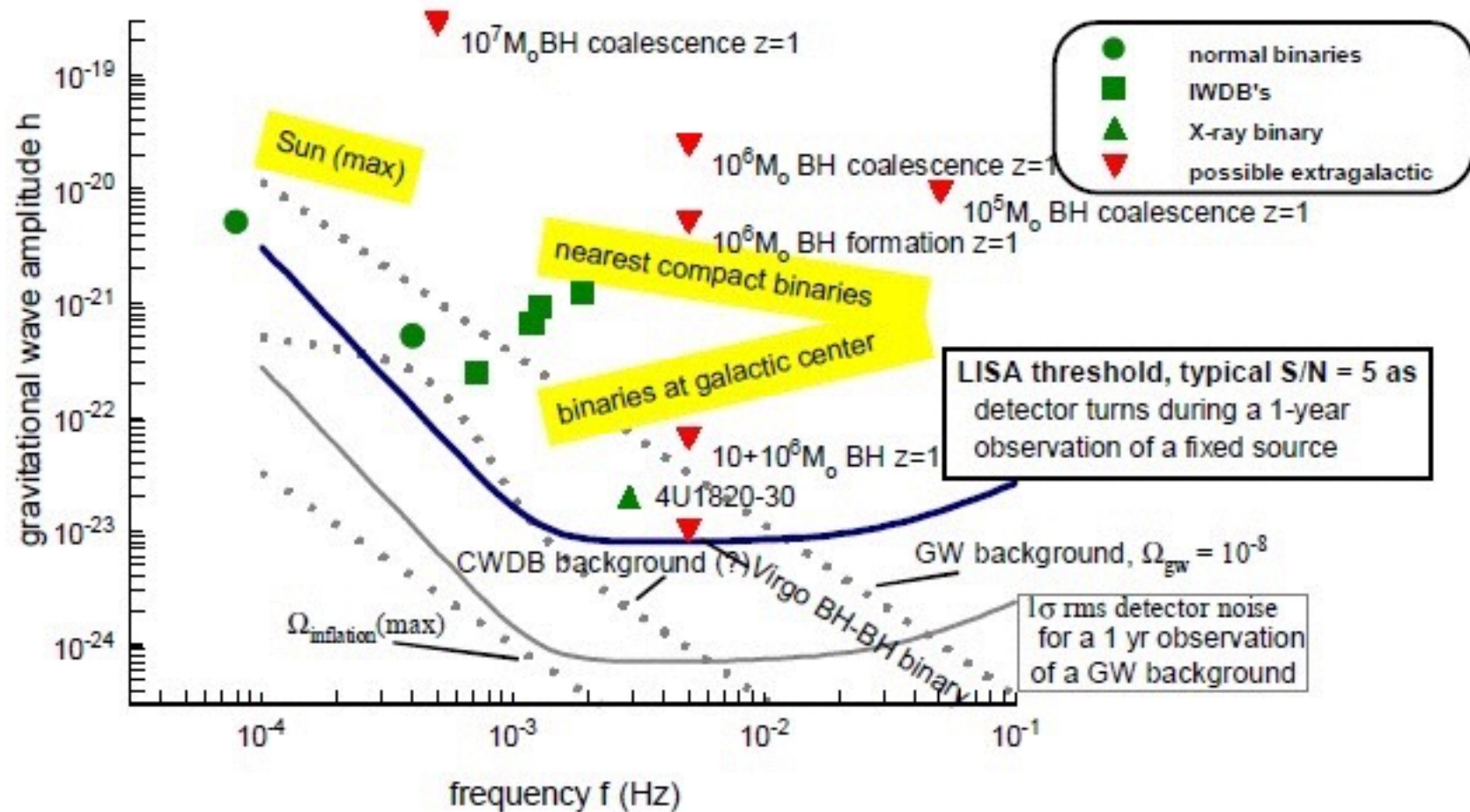


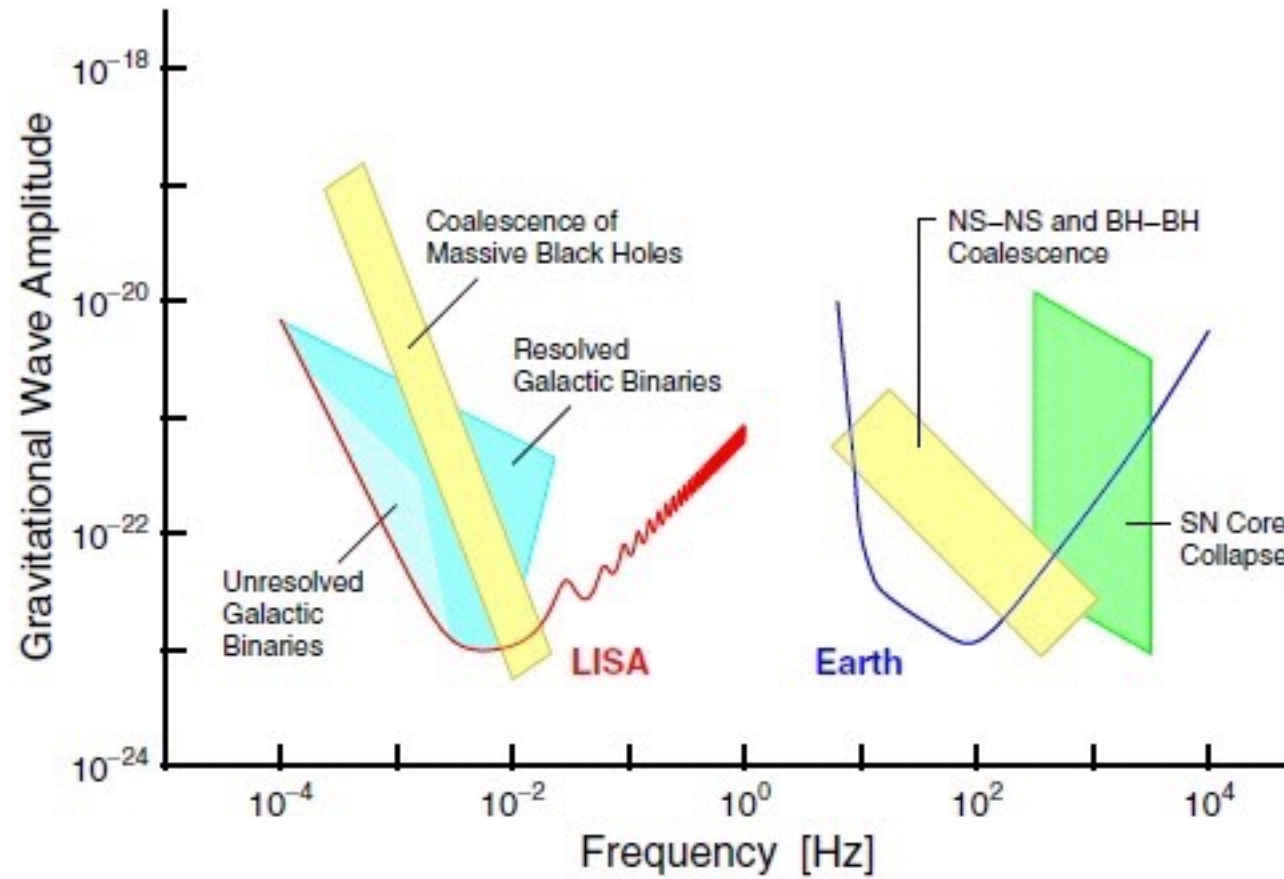




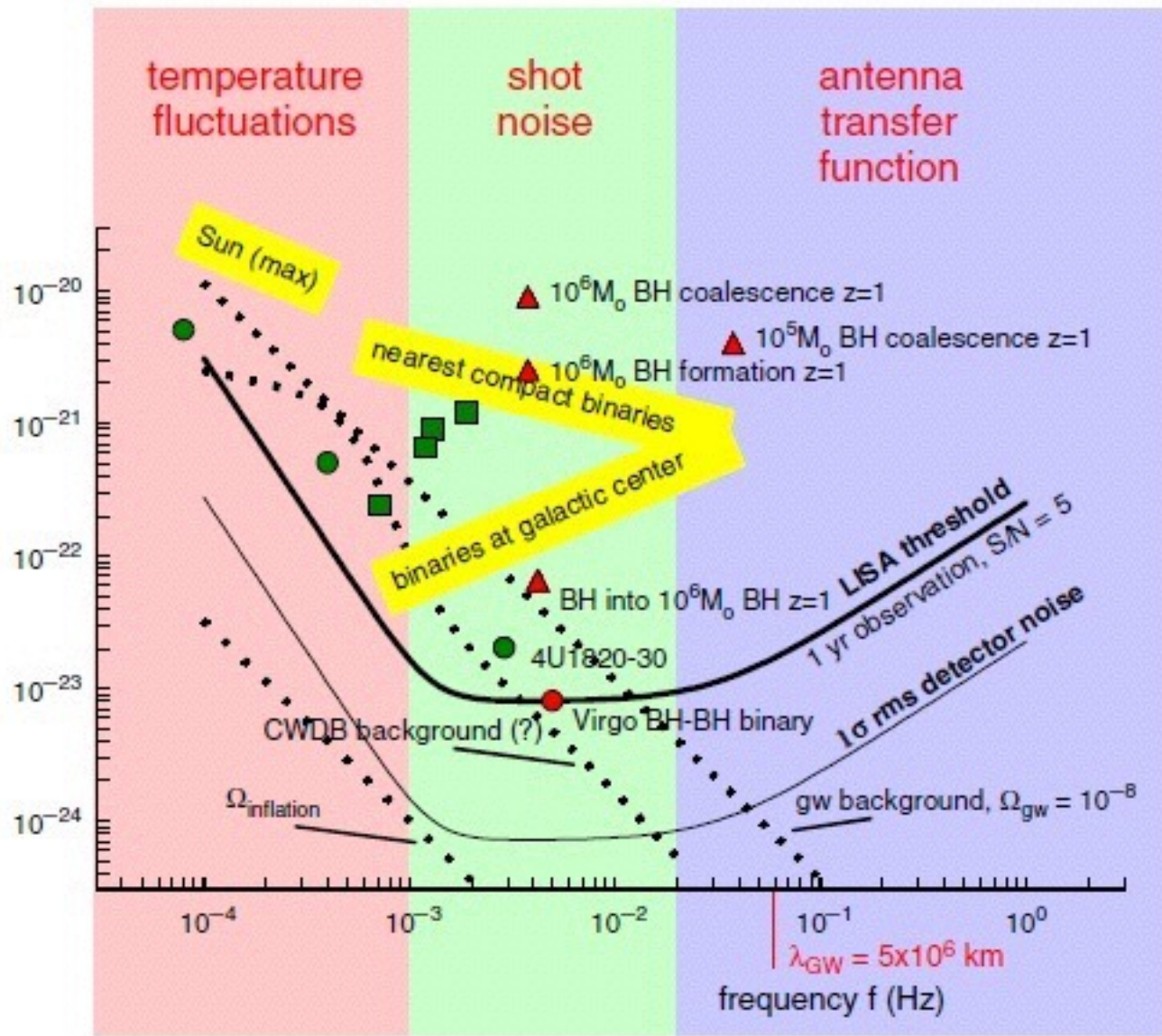


## LISA Sensitivity

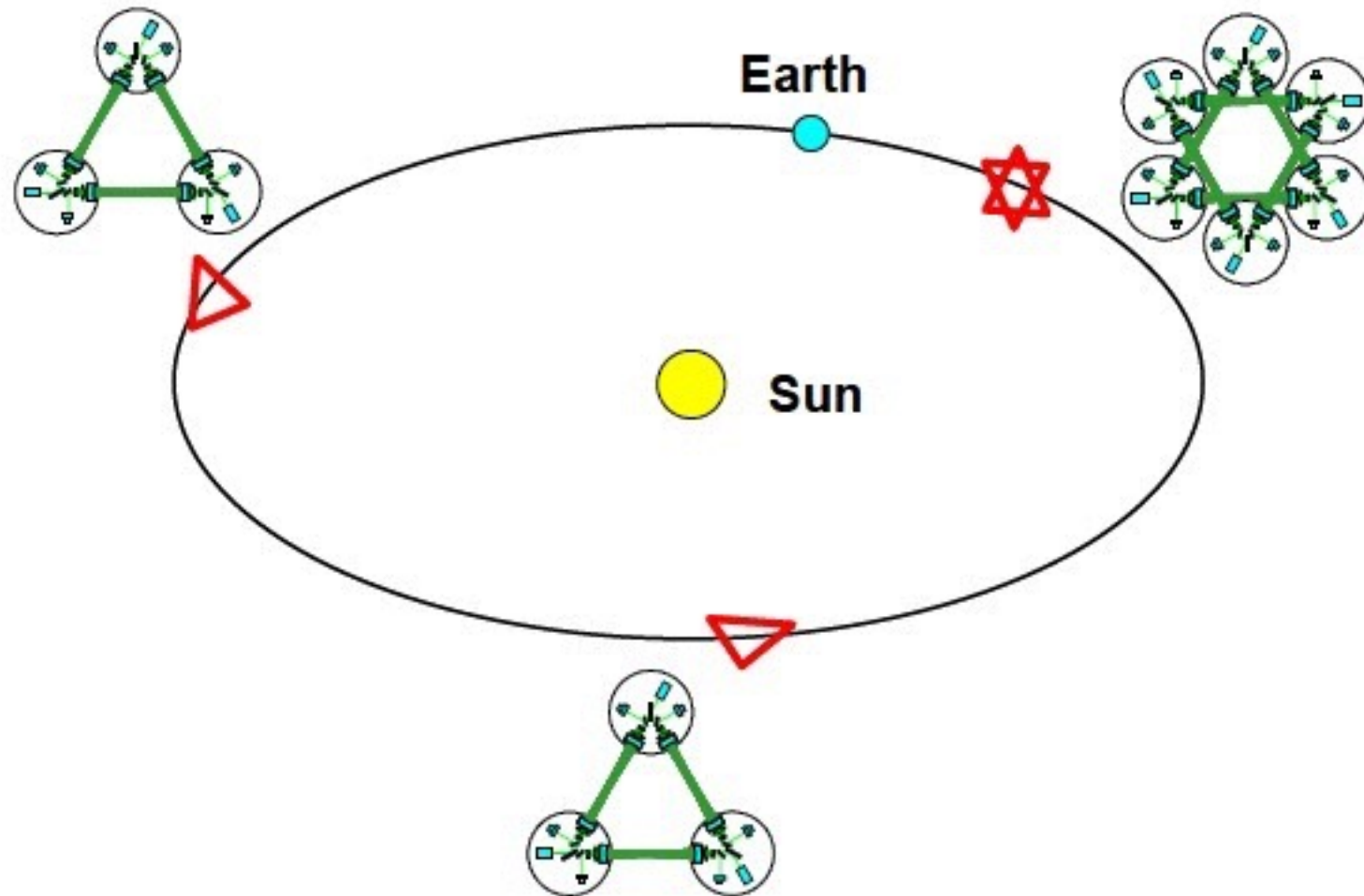




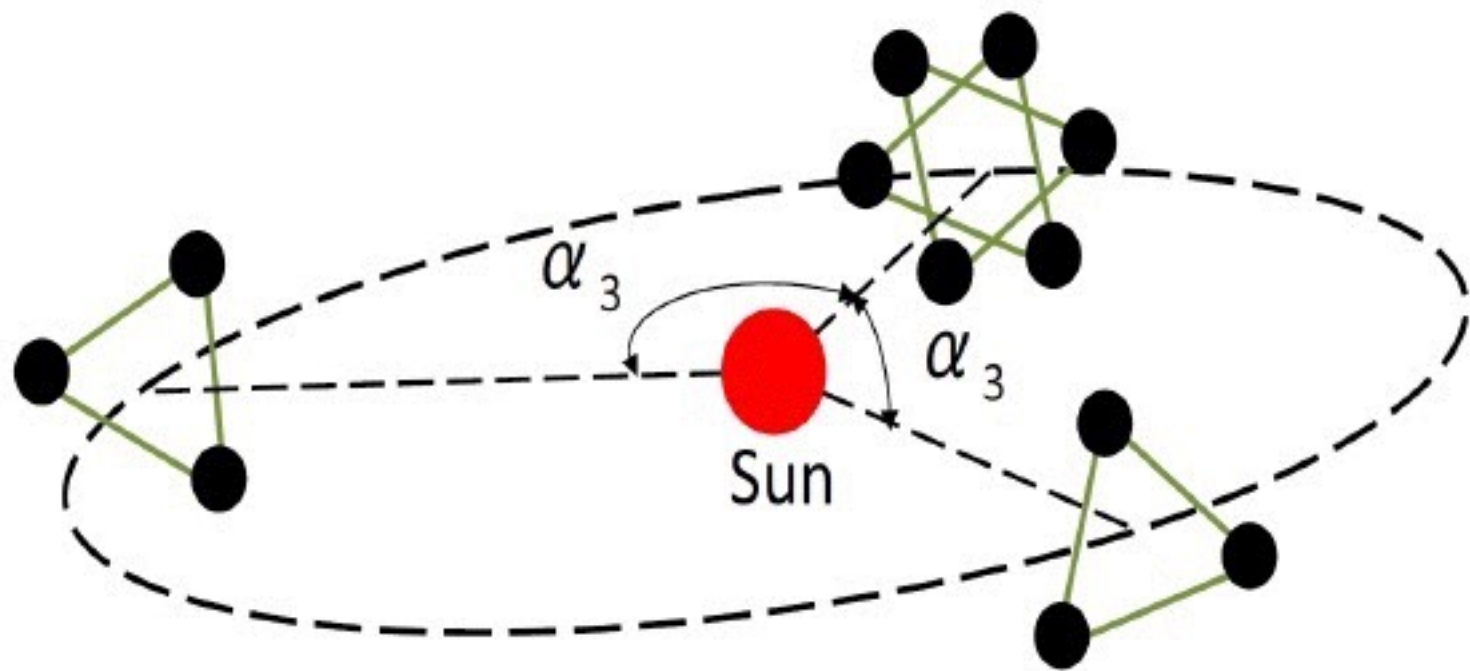
Sensitivity curves for the ground-based interferometers (Earth), and LISA.



Enlarged sensitivity curve for LISA



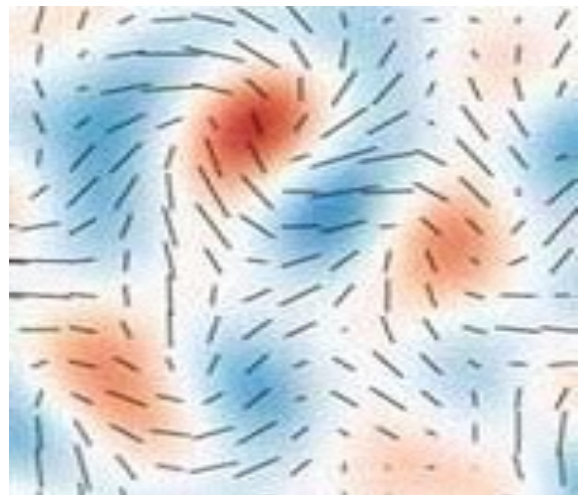
Constellation of DECIGO



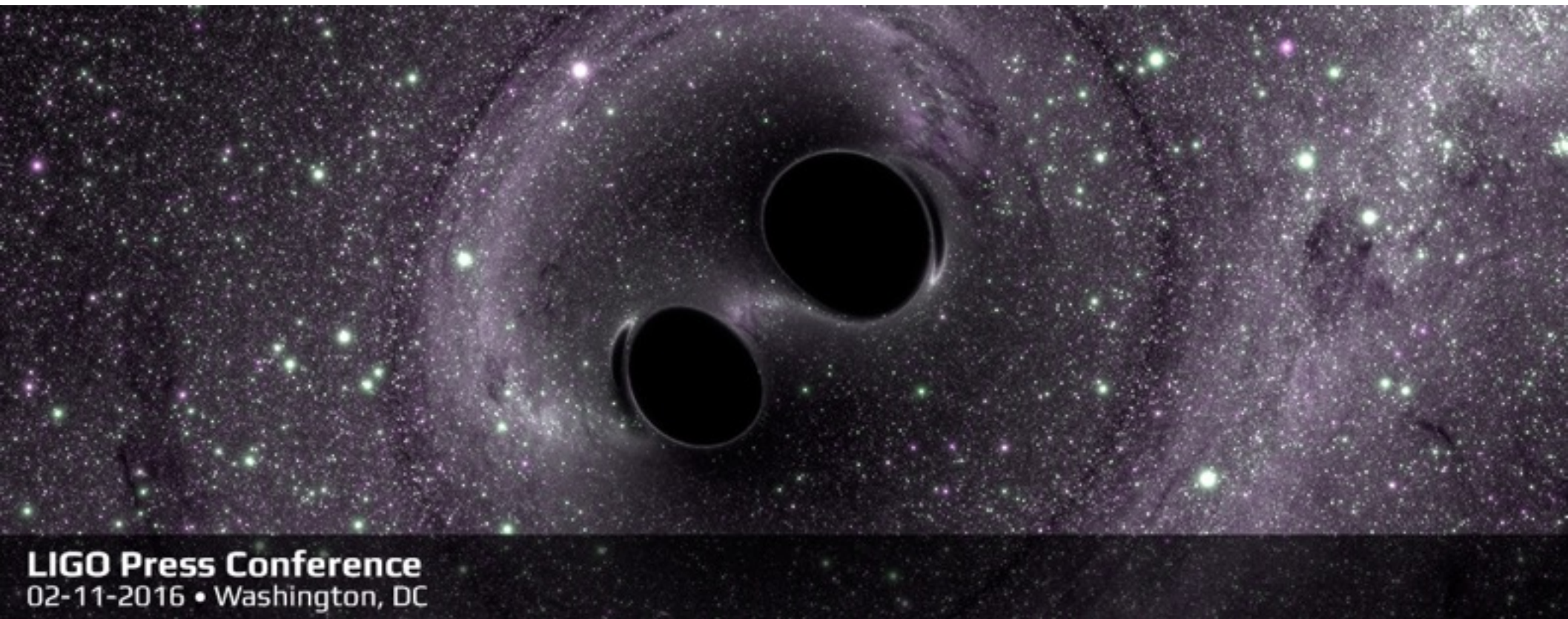
The default configuration of BBO or DECIGO with  $\alpha_3 = 120^0$

**“Anatomia” odkrycia fal grawitacyjnych**

*“Fałszywy alarm” Johna Kovaca z Harvard  
17.03.2014 - efekt w promieniowaniu tła (tzw.  
mod magnetyczny B) nie pochodził od fal  
grawitacyjnych tylko od pyłu galaktycznego.*

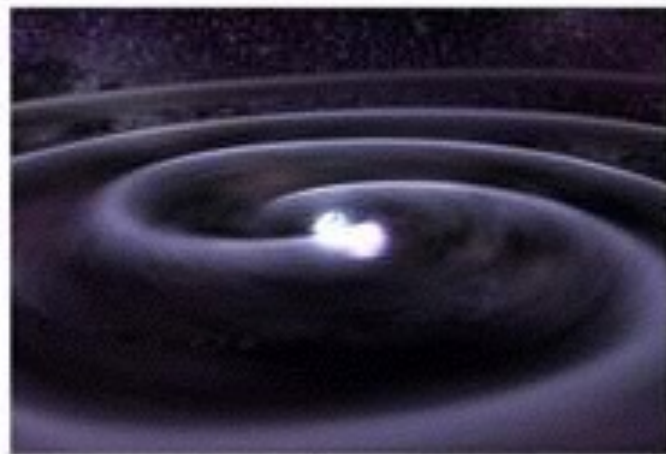


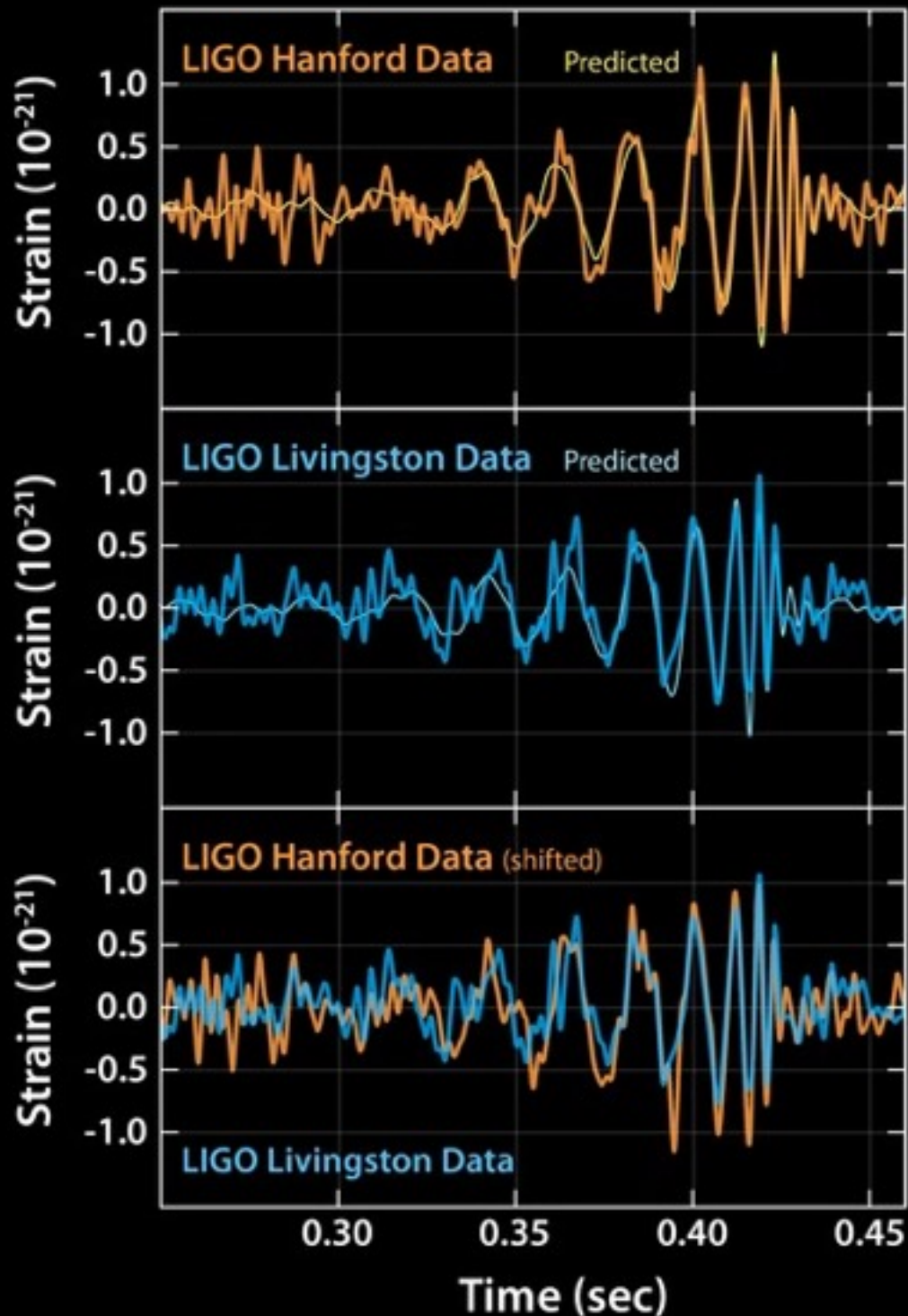
**Prawdziwy sygnał z 14.09.2015 - od zlewających się  
ze sobą dwóch czarnych dziur.**



**LIGO Press Conference**  
02-11-2016 • Washington, DC

**Oficjalnie opublikowany 11 lutego 2016 roku na  
specjalnej konferencji prasowej.**





On September 14, 2015 at 09:50:45 UTC, the LIGO Hanford, WA, and Livingston, LA, observatories detected

most significant event from each detector for the observations reported here. Occurring within the 10-ms intersite

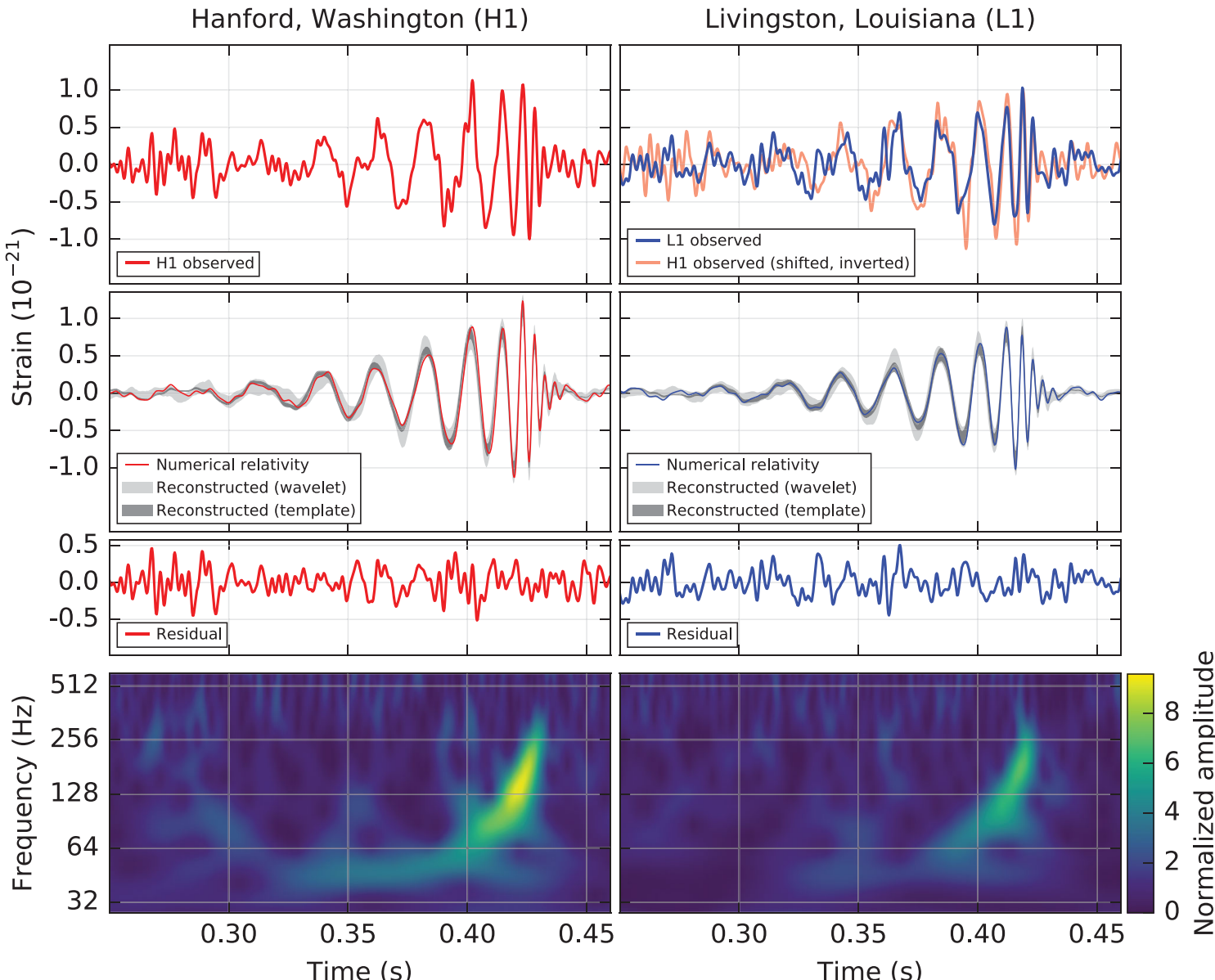
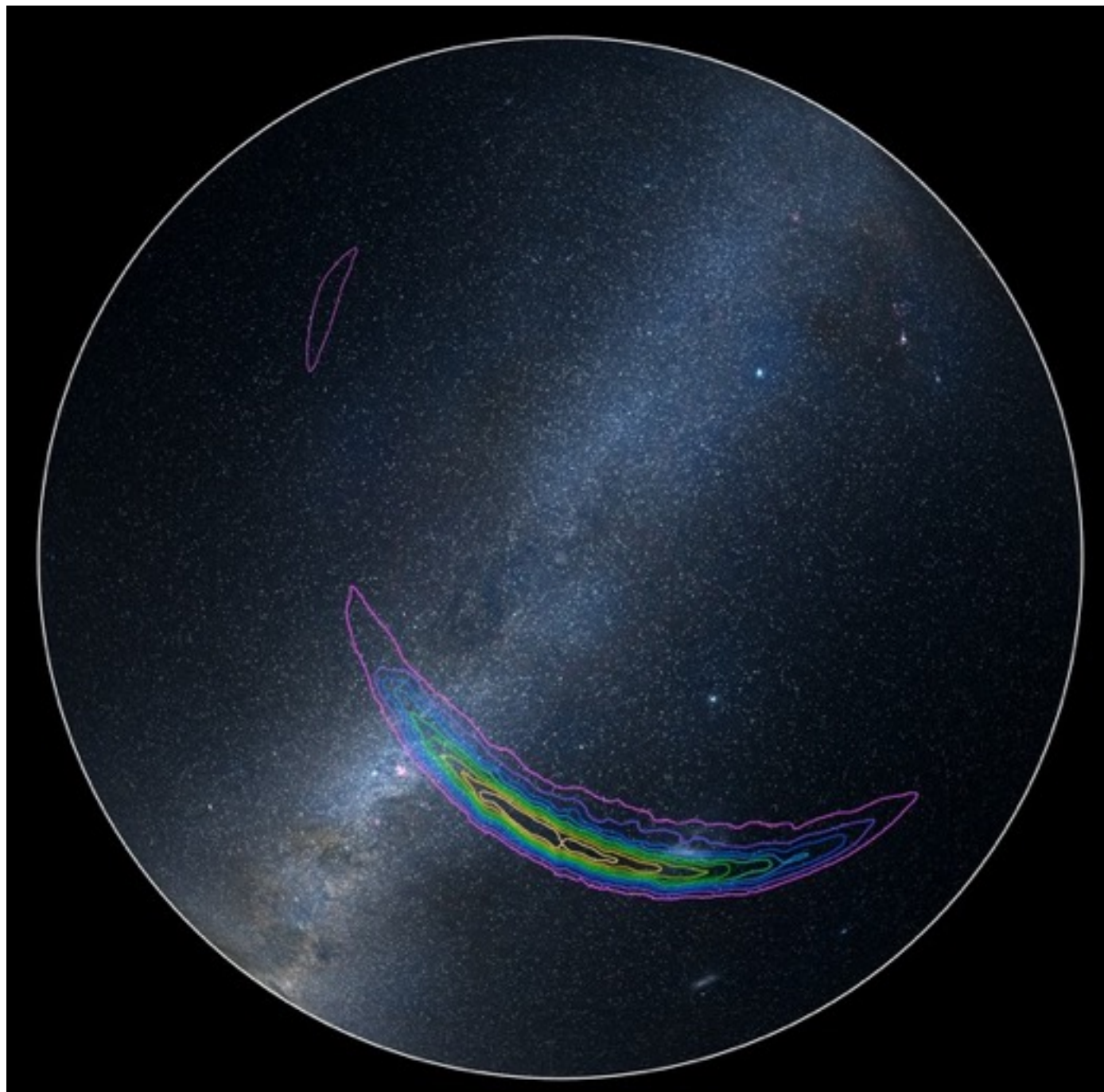


FIG. 1. The gravitational-wave event GW150914 observed by the LIGO Hanford (H1, left column panels) and Livingston (L1, right column panels) detectors. Times are shown relative to September 14, 2015 at 09:50:45 UTC. For visualization, all time series are filtered with a 35–350 Hz bandpass filter to suppress large fluctuations outside the detectors' most sensitive frequency band, and band-reject filters to remove the strong instrumental spectral lines seen in the Fig. 3 spectra. *Top row, left:* H1 strain. *Top row, right:* L1 strain. GW150914 arrived first at L1 and  $6.9^{+0.5}_{-0.4}$  ms later at H1; for a visual comparison, the H1 data are also shown, shifted in time by this amount and inverted (to account for the detectors' relative orientations). *Second row:* Gravitational-wave strain projected onto each detector in the 35–350 Hz band. Solid lines show a numerical relativity waveform for a system with parameters consistent with those recovered from GW150914 [37,38] confirmed to 99.9% by an independent calculation based on [15]. Shaded areas show 90% credible

## Signal from Southern sky - direction Magellanic Cloud



propagation time, the events have a combined signal-to-noise ratio (SNR) of 24 [45].

Only the LIGO detectors were observing at the time of GW150914. The Virgo detector was being upgraded, and GEO 600, though not sufficiently sensitive to detect this event, was operating but not in observational mode. With only two detectors the source position is primarily determined by the relative arrival time and localized to an area of approximately  $600 \text{ deg}^2$  (90% credible region) [39,46].

The basic features of GW150914 point to it being produced by the coalescence of two black holes—i.e., their orbital inspiral and merger, and subsequent final black hole ringdown. Over 0.2 s, the signal increases in frequency and amplitude in about 8 cycles from 35 to 150 Hz, where the amplitude reaches a maximum. The most plausible explanation for this evolution is the inspiral of two orbiting masses,  $m_1$  and  $m_2$ , due to gravitational-wave emission. At the lower frequencies, such evolution is characterized by the chirp mass [11]

$$\mathcal{M} = \frac{(m_1 m_2)^{3/5}}{(m_1 + m_2)^{1/5}} = \frac{c^3}{G} \left[ \frac{5}{96} \pi^{-8/3} f^{-11/3} \dot{f} \right]^{3/5},$$

where  $f$  and  $\dot{f}$  are the observed frequency and its time derivative and  $G$  and  $c$  are the gravitational constant and speed of light. Estimating  $f$  and  $\dot{f}$  from the data in Fig. 1, we obtain a chirp mass of  $\mathcal{M} \simeq 30 M_\odot$ , implying that the total mass  $M = m_1 + m_2$  is  $\gtrsim 70 M_\odot$  in the detector frame. This bounds the sum of the Schwarzschild radii of the binary components to  $2GM/c^2 \gtrsim 210 \text{ km}$ . To reach an orbital frequency of 75 Hz (half the gravitational-wave

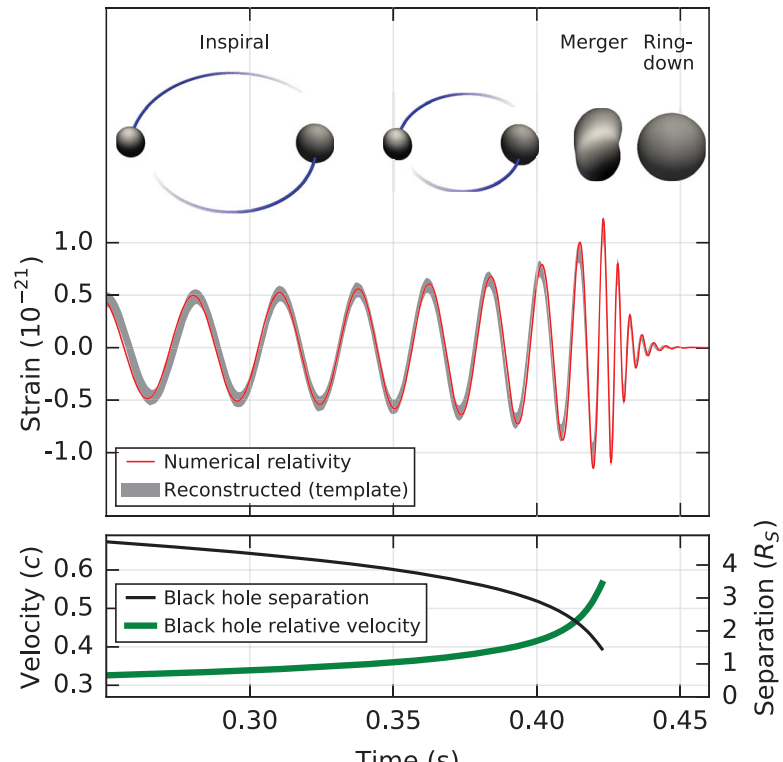


FIG. 2. *Top:* Estimated gravitational-wave strain amplitude from GW150914 projected onto H1. This shows the full bandwidth of the waveforms, without the filtering used for Fig. 1. The inset images show numerical relativity models of the black hole horizons as the black holes coalesce. *Bottom:* The Keplerian effective black hole separation in units of Schwarzschild radii ( $R_S = 2GM/c^2$ ) and the effective relative velocity given by the post-Newtonian parameter  $v/c = (GM\pi f/c^3)^{1/3}$ , where  $f$  is the gravitational-wave frequency calculated with numerical relativity and  $M$  is the total mass (value from Table I).

detector [33], a modified Michelson interferometer (see

For robustness and validation, we also use other generic transient search algorithms [41]. A different search [73] and a parameter estimation follow-up [74] detected GW150914 with consistent significance and signal parameters.

### B. Binary coalescence search

This search targets gravitational-wave emission from binary systems with individual masses from 1 to  $99M_{\odot}$ , total mass less than  $100M_{\odot}$ , and dimensionless spins up to 0.99 [44]. To model systems with total mass larger than  $4M_{\odot}$ , we use the effective-one-body formalism [75], which combines results from the post-Newtonian approach [11,76] with results from black hole perturbation theory and numerical relativity. The waveform model [77,78] assumes that the spins of the merging objects are aligned with the orbital angular momentum, but the resulting templates can, nonetheless, effectively recover systems with misaligned spins in the parameter region of GW150914 [44]. Approximately 250 000 template waveforms are used to cover this parameter space.

The search calculates the matched-filter signal-to-noise ratio  $\rho(t)$  for each template in each detector and identifies maxima of  $\rho(t)$  with respect to the time of arrival of the signal [79–81]. For each maximum we calculate a chi-squared statistic  $\chi_r^2$  to test whether the data in several different frequency bands are consistent with the matching template [82]. Values of  $\chi_r^2$  near unity indicate that the signal is consistent with a coalescence. If  $\chi_r^2$  is greater than unity,  $\rho(t)$  is reweighted as  $\hat{\rho} = \rho / \{[1 + (\chi_r^2)^3]/2\}^{1/6}$  [83,84]. The final step enforces coincidence between detectors by selecting

TABLE I. Source parameters for GW150914. We report median values with 90% credible intervals that include statistical errors, and systematic errors from averaging the results of different waveform models. Masses are given in the source frame; to convert to the detector frame multiply by  $(1+z)$  [90]. The source redshift assumes standard cosmology [91].

Primary black hole mass	$36_{-4}^{+5} M_{\odot}$
Secondary black hole mass	$29_{-4}^{+4} M_{\odot}$
Final black hole mass	$62_{-4}^{+4} M_{\odot}$
Final black hole spin	$0.67_{-0.07}^{+0.05}$
Luminosity distance	$410_{-180}^{+160}$ Mpc
Source redshift $z$	$0.09_{-0.04}^{+0.03}$

When an event is confidently identified as a real gravitational-wave signal, as for GW150914, the background used to determine the significance of other events is reestimated without the contribution of this event. This is the background distribution shown as a purple line in the right panel of Fig. 4. Based on this, the second most significant event has a false alarm rate of 1 per 2.3 years and corresponding Poissonian false alarm probability of 0.02. Waveform analysis of this event indicates that if it is astrophysical in origin it is also a binary black hole merger [44].

### VI. SOURCE DISCUSSION

The matched-filter search is optimized for detecting

**Masy czarnych dziur (rozmiar ok. 150 km):**

**M1 = 36 mas Słońca = 36 m**

**M2 = 29 mas Słońca = 29 m**

**Po złączeniu powstała nowa czarna dziura**

**o masie M = 62 m**

**(zdarzenie miało miejsce ok. 1 mld lat temu)**

**Zatem energia wypromieniowana w postaci fal**

**grawitacyjnych to:  $3 \text{ m} \times c^2 = 18 \times 10^{46} \text{ J}$**

**lub moc  $1,8 \times 10^{38} \text{ GW}$**

**Polskie elektrownie - 35 GW**

**Wszystkie elektrownie na świecie - 3500 GW**

**WYPROMIENIOWANA MOC KOLOSALNA!!!**

## Ciekawostki:

- detektory fal grawitacyjnych obecnie są nazywane po prostu “teleskopami grawitacyjnymi”
- identyfikacja sygnału od fali grawitacyjnej z sygnałem elektromagnetycznym (m.in. NCBJ “Pi of the sky”)
- problem: czy prędkość fotonu (fali e-m) jest taka sama jak prędkość grawitonu (fali grawitacyjnej)?

# **Podsumowanie:**

- 1. Grawitacja to najsłabsze z oddziaływań, ale dominujące we Wszechświecie**
- 2. Jej korzenie sięgają Newtona i Cavendisha, lecz jej właściwą naturę opisał Einstein**
- 3. Fakt istnienia fal grawitacyjnych pozwala na jej interpretację jak w fizyce cząstek elementarnych**
- 4. Nośnikiem oddziaływania jest grawiton (fala grawitacyjna) - analogia do fotonu (fala elektromagnetyczna)**

## References:

*Mateusz Lisaj, Polarization of the microwave background as a signal from gravity waves, M.Sc. thesis (Szczecin, 2010)*

*Hasanain Hassan Al-Dahlaki, New Generations of Gravitational Wave Detectors in Space, M.Sc. thesis (Szczecin, 2013)*

*Bernard Schutz, Gravitational waves on the back of an envelope,  
Am. J. Phys. 52 (5), 412 (1994)*

*B.P. Abbott et al., Observation of Gravitational Waves from a Binary Black Hole Merger, Phys. Rev. Lett. 116, 061102 (2016).*

**Dziękuję za uwagę!**

